



# Fastsættelse af kvalitetskriterier for vandmiljøet

## Polyklorerede biphenyler (PCB)

PCB28 7012-37-5

PCB52 35693-99-3

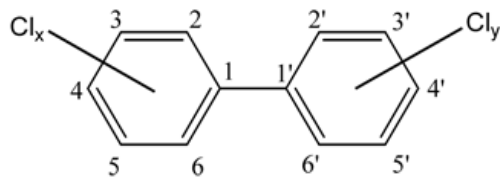
PCB101 37680-73-2

PCB118 31508-00-6

PCB138 35065-28-2

PCB153 35065-27-1

PCB180 35065-29-3



Kriterierne fastsat for PCB<sub>6</sub> herunder er sumkrav.

|  |   |                              |
|--|---|------------------------------|
| Sedimentkvalitetskriterium (PCB <sub>6</sub> )                             | SKK <sub>ferskvand</sub>                | Ikke muligt                  |
| Sedimentkvalitetskriterium (PCB <sub>6</sub> )                             | SKK <sub>saltvand</sub>                 | Ikke muligt                  |
| Sedimentkvalitetskriterium (PCB118)  | SKK                                     | Ikke afledt                  |
| Biota-kvalitetskriterium, sekundær forgiftning (PCB <sub>6</sub> )         | BKK <sub>sek.forgiftn., ferskvand</sub> | 19,7 µg/kg fisk vådvægt      |
| Biota-kvalitetskriterium, sekundær forgiftning (PCB <sub>6</sub> )         | BKK <sub>sek.forgiftn., saltvand</sub>  | 0,16 µg/kg fisk vådvægt      |
| Biota-kvalitetskriterium, sekundær forgiftning (PCB118), ΣPCDD+PCDF+PCB-DL | BKK <sub>sek.forgiftn.</sub>            | 0,0065 µg/kg TEQ (EU)*       |
| Biota-kvalitetskriterium, human konsum (PCB <sub>6</sub> )                 | HKK                                     | 75 µg/kg fisk vådvægt (EU)*  |
| Biota-kvalitetskriterium, human konsum (PCB118), ΣPCDD+PCDF+PCB-DL         | HKK                                     | 6,5 ng/kg fisk vådvægt (EU)* |

\*De EU fastsatte miljøkvalitetskriterier er pt. under revision i EU. Der foreligger et endeligt udkast fra februar 2023 på CIRCABC, som skal til forhandling.

# Indhold

|   |           |
|---|-----------|
| <b>FORORD</b>   | <b>3</b>  |
| <b>ENGLISH SUMMARY AND CONCLUSIONS</b>  | <b>4</b>  |
| <b>1 INDLEDNING</b>   | <b>9</b>  |
| <b>2 FYSISK KEMISKE EGENSKABER</b>  | <b>11</b> |
| <b>3 SKÆBNE I MILJØET</b>   | <b>12</b> |
| 3.1 NEDBRYDELIGHED  | 12        |
| 3.2 FORDELING I MILJØET   | 12        |
| 3.3 BIOAKKUMULERING   | 13        |
| 3.4 NATURLIG FOREKOMST  | 15        |
| <b>4 TOKSICITETSDATA</b>  | <b>18</b> |
| 4.1 TOKSICITET OVER FOR SEDIMENTLEVENDE ORGANISMER  | 18        |
| 4.2 TOKSICITET OVER FOR PATTEDYR OG FUGLE   | 18        |
| 4.3 TOKSICITET OVER FOR Mennesker   | 20        |
| <b>5 ANDRE EFFEKTER</b>   | <b>22</b> |
| <b>6 UDLEDNING AF VANDKVALITETSKRITERIUM</b>  | <b>23</b> |
| 6.1 TIDLIGERE VÆRDIER   | 23        |
| 6.2 KVALITETSKRITERIUM FOR SEDIMENT (SKK)   | 24        |
| 6.3 KVALITETSKRITERIUM FOR BIOTA, SEKUNDÆR FORGIFTNING<br>(BKK <sub>SEK.FORGIFTN.</sub> ) | 26        |
| 6.3.1 <i>Ferskvand</i>  | 26        |
| 6.3.2 <i>Saltvand</i>   | 27        |
| 6.4 KVALITETSKRITERIUM FOR HUMAN KONSUM AF VANDLEVENDE<br>ORGANISMER (HKK)                | 28        |
| 6.5 VANDKVALITETSKRITERIUM BASERET PÅ BKK OG HKK  | 29        |
| 6.6 SEDIMENTKVALITETSKRITERIE BASERET PÅ BKK  | 29        |
| 6.6.1 <i>EqP-metoden</i>  | 29        |
| 6.6.2 <i>BSAF-metoden</i>   | 30        |
| 6.6.3 <i>Konklusion på SKK</i>  | 31        |
| <b>7 KONKLUSION</b>   | <b>32</b> |
| <b>8 REFERENCER</b>   | <b>33</b> |

Bilag A: Test data sedimentlevende organismer for PCBer

Bilag B: Non-test data for PCBer

Bilag C: Test data for fugle og pattedyr for PCBer

Bilag D: Struktur af PCBer

Bilag E: Statistiske test

# Forord

Et kvalitetskriterium for vandmiljøets sediment og biota er det højeste koncentrationsniveau, ved hvilket der skønnes, ikke at forekomme uacceptable negative effekter på økosystemer.

Miljøstyrelsen (MST) udarbejder kvalitetskriterier for kemikalier i vandsøjen, i sediment, i dyr og planter (biota) og for human konsum.

MST bruger kvalitetskriterierne som det faglige grundlag til at kunne fastsætte miljøkvalitetskrav, hvorved der forstår den endelige koncentration af et bestemt forurenende stof i vand, sediment eller biota, som ikke må overskrides af hensyn til beskyttelsen af miljøet og menneskers sundhed.

Metodikken, der anvendes til udarbejdelse af miljøkvalitetskrav, er harmoniseret i EU og baserer sig på vandrammedirektivet (EU, 2000), EU's vejledning til fastsættelse af kvalitetskriterier i vandmiljøet (EU, 2018) og Miljøstyrelsens vejledning til fastsættelse af vandkvalitetskriterier (Miljøstyrelsen, 2004). Metodikken er videre i overensstemmelse med EU's vejledning til risikovurdering under REACH forordningen (EU, 2008).

Der er ikke fastsat et EU vandkvalitetskrav for PCBerne, og det er heller ikke udledt i dette datablad. PCB akkumuleres i organisk materiale og vil ikke være detekterbart i vandfasen, hvorfor det ikke giver mening at fastsætte vandkvalitetskriterier for PCB.

Der er formuleret et EU kvalitetskrav for biota på summen af PCDD + PCDF + PCB (dioxinlignende PCBer) på  $0,0065 \mu\text{g TEQ kg}^{-1}$  (TEQ: toksicitetsækvivalenter) (Miljø- og Fødevareministeriet, 2017), hvorfor der i dette datablad ikke er formuleret et kvalitetskriterie for biota for PCB118, da dette er dækket af EU kvalitetskravet (EU, 2012).

Den seneste litteratursøgning er foretaget i august 2022.

# English Summary and conclusions

Polychlorinated biphenyls (PCBs) are a group of man-made chemicals. They are oily liquids or solids, clear to yellow in color, with no smell or taste. PCBs are very stable mixtures that are resistant to extreme temperature and pressure. PCBs were used widely in electrical equipment like capacitors and transformers. Also, they were used in hydraulic fluids, heat transfer fluids, lubricants, and plasticizers. Commercial production of PCBs ended in 1977 because of health effects associated with exposure. PCBs are very persistent in the environment and have a high potential for bioaccumulation and biomagnification.

PCBs consist of 209 different congeners. The PCBs are divided into two main groups: the dioxin-like (DL) PCBs and the non-dioxin-like (NDL) PCBs. The DL-PCBs are of highest concern due to their human health effects.

The seven PCBs in this dossier (PCB28, PCB52, PCB101, PCB118, PCB138, PCB153, PCB180) are often used as model PCBs. Of these only PCB118 belongs to the group of DL-PCBs whereas the remaining PCBs are NDL-PCBs.

Initially, the following is defined:

PCB<sub>7</sub>: covers all seven PCBs: PCB28, PCB52, PCB101, PCB118, PCB138, PCB153, PCB180

PCB<sub>6</sub>: covers the six PCBs: PCB28, PCB52, PCB101, PCB138, PCB153, PCB180, i.e. the dioxin-like PCB118 is not included in PCB<sub>6</sub>

No environmental quality standards (EQS) for the DL-PCB (118) is derived in this dossier as this substance is already included in the EQSs set for biota for dioxins and dioxin-like substances (PCB<sub>7</sub>) in EU (EU, 2012).

Most toxicity data are measured for a mixture of PCBs. The individual PCBs will not necessarily be equally toxic and in particular the dioxin-like PCBs are believed to be more toxic than the other PCBs. It is assumed that the toxicity (expressed in ECx and NOEC) of each of the incoming PCBs in a mixture is the same (both the dioxin-like and the non-dioxin-like), which is considered very conservative. So, it is implicitly assumed that the measured toxicity for the mixture corresponds to the toxicity that would be measured if the test were performed for PCB<sub>6</sub> alone.

Derivation of environmental quality standards (EQS) for the aquatic environment is following the EU Guidance Document No. 27: Technical Guidance Document (TGD) for Deriving Environmental Quality Standards (EU, 2018).

Ecotoxicity data have primarily been retrieved from reviews and summary reports. Furthermore, data was found in the following databases: SETAC's database (SETAC Sediment Advisory Group (SEDAg), Spiked Sediment Toxicity Database) and US EPA's database (ECOTOXicology knowledgebase).

It is relevant to derive a QS for sediment-dwelling organisms for the PCBs as the Log K<sub>ow</sub> for the PCBs is above 3 (5.7-7.4). Further, the PCBs biomagnify in the food web, so it is relevant to derive a biota QS for secondary poisoning.

### QS for biota, secondary poisoning

The BCF for the PCBs is significantly above 100 and Log K<sub>ow</sub> for the PCBs is significantly higher than 3 (5.7-7.4) and it is therefore relevant to derive QS<sub>sec. pois.</sub>.

The toxicity data for birds and mammals are listed in Appendix C. The data used to establish the QS<sub>sec. pois.</sub> is shown with bold in Appendix C, the normalized values used in the Species Sensitivity Distribution analysis (SSD) is shown in table 4.2., under the column “Omregnet konc. (µg/kJ)”.

Data of a total of 13 species of birds (5) and mammals (8) has been found and therefore an SSD was performed. The EC<sub>10</sub> / NOEC values are given in mg/kg and therefore method B in the guidance (page 86-87 in EU, 2018) is followed where the values are first normalized relative to the duration of the test using the assessment factors in table 9 of the guidance (EU, 2018) as well normalized with respect to the energy content of the diet. The normalized data is shown in table 4.2.

Subsequently, an SSD analysis was performed and HC<sub>5</sub> was found to be 0.018 µg/kJ (confidence interval: 0.0039 – 0.67 µg/kJ). By dividing with an assessment factor (AF) of 5, PNEC is derived at 0.0036 µg/kJ.

PNEC is normalized to the critical food item fish (since PCBs biomagnify in the food chain) with an energy content of 21,000 kJ/kg dw, a dry weight content of 26% and a lipid content of 5%, QS<sub>sec. pois., freshwater</sub> is then calculated to:

$$\begin{aligned} \text{QS}_{\text{sec. pois., freshwater}} &= 0.0036 \text{ µg/kJ} \times (21000 \text{ kJ/kg dry weight} \times 0.26) = \mathbf{19.7 \text{ µg/kg fish wet weight}} \\ \text{QS}_{\text{sec. pois., freshwater}} &= 19.7 \text{ µg/kg fish wet weight} / 0.05 = \mathbf{394 \text{ µg/kg lipid}} \end{aligned}$$

For saltwater, an additional step in the food chain must be added, according to the guidance (EU, 2018), due to the bioaccumulation and biomagnification in the food chain. A significant variation in the bioaccumulation of the individual PCBs is observed. The following calculations are based on the properties of PCB153, as it is found that PCB153 is the PCB present in the highest concentrations both in sediment and in biota.

The PNEC of 0.0036 µg/kJ is used to calculate a QS for marine mammals with a standard energy content of 23.000 kJ/ kg dry weight, a dry weight content of 32% and a lipid content of 10%:

$$\begin{aligned} \text{QS}_{\text{marine mammals}} &= 0.0036 \text{ µg/kJ} \times (23.000 \text{ kJ/kg dry weight vertebrate} \times 0.32) = 0.026 \text{ mg/kg marine} \\ &\text{mammals wet weight} \end{aligned}$$

$$\text{QS}_{\text{marine mammals}} = 0.026 \text{ mg/kg marine mammals wet weight} / 0.10 = 0.26 \text{ mg/kg lipid}$$

Since marine mammals are not fit for the monitoring program, the QS<sub>marine mammals</sub> is converted into a criteria for fish by deviding with a BMF-value. An average BMF-value for seals was found at 166 kg wet weight/kg wet weight and 20 kg lipid/kg lipid. QS<sub>sec. pois.</sub> for saltwater is then estimated at:

$$\begin{aligned} \text{QS}_{\text{sec. pois., saltwater}} &= 0.026 \text{ mg/kg marine mammals wet weight} / 166 = \mathbf{0.16 \text{ µg/kg fish wet weight}} \\ \text{QS}_{\text{sec. pois., saltwater}} &= 0.16 \text{ µg/kg fish wet weight} / 0.05 = \mathbf{3.2 \text{ µg/kg lipid}} \end{aligned}$$

## QS for sediment

A QS for the sediment was derived from ecotoxicity data for benthic organisms and by a reverse calculation from the QS for biota, secondary poisoning. The lowest value is recommended to be used.

### ***Derivation of QS for sediment using ecotoxicity data***

Ecotoxicity data for benthic organisms are shown in Appendix A. The data used to establish the  $QS_{sed}$  is shown with bold in Appendix A.

As there are very scarce data for freshwater sediment, the data for freshwater and marine are pooled.

The pooled data contain chronic NOEC-values for seven species representing six overall systematic groups with widely different feeding strategies: Bivalvia, Polychaeta, Oligochaeta, Amphipoda, Copepoda and Decapoda are available. Since the species diversity in sediment is significantly lower than in the water column, seven species from six overall systematic groups is considered sufficient to perform a Species Sensitivity Distribution (SSD) with sediment-living organisms.

The  $HC_5$  was found using the principles of Aldenberg and Jaworska (2000).  $HC_5$  was found at 1.1 mg/kg dry weight (5% OC) (confidence interval 0.06-4.7 mg/kg dry weight). With an assessment factor of 5 used for both fresh- and saltwater. No extra assessment factor was used for saltwater as data for six marine species were available including additional marine taxonomic groups. The  $QS_{sed}$  was derived at:

$$\begin{aligned} QS_{sed} &= 1.1 \text{ mg/kg dry weight (5% OC)} / 5 = \mathbf{0.22 \text{ mg/kg dry weight (5% OC)}} \\ &= 0.22 \text{ mg/kg dry weight} / 0.05 = \mathbf{4.4 \text{ mg/kg OC}} \end{aligned}$$

### ***Derivation of QS for sediment from QS for biota***

For very hydrophobic substances such as PCBs the key objective is to protect predatory fish and mammals, and therefore a quality standard for biota ( $QS_{sec. pois.}$ ) is set. And, when sediment is the primary source of exposure to predatory fish and mammals, the quality standard for sediment ( $QS_{sed}$ ) should be derived from  $QS_{sec. pois.}$  following TGD p. 109 (EU, 2018). Therefore, a recalculation from biota to sediment is made in this dossier. This requires a calculation of the partitioning of the PCBs between biota, water and sediment.

The partitioning of the PCBs between sediment and in biota varies between the various PCBs. As it has been recognised that PCB153 is the PCB present in the highest concentrations both in sediment and in biota, it is chosen to apply the properties of PCB153 in the recalculations. Furthermore, due to the more complex food chain in saltwater - a distinction should be made between freshwater and saltwater.

#### *Freshwater*

$QS_{sed, \text{freshwater}}$  is calculated by assuming equilibrium between the substance in biota, sediment and in the water phase. The concentration of PCB153 in the water phase when the concentration in fish is 19.7 µg/kg fish wet weight (derived  $QS_{sec. pois., \text{freshwater}}$ ) is found at:

$$QS_{\text{freshwater}} = QS_{sec. pois., \text{freshwater}} / BAF_{\text{fish}}$$

Where  $BAF_{fish}$  is 8,125,000 l/kg (table 3.3).

$$QS_{freshwater} = 19.7 \mu\text{g}/\text{kg fish wet weight} / 8,125,000 \text{ l/kg} = 2.4 \times 10^{-6} \mu\text{g/l}$$

The concentration in sediment at  $QS_{freshwater}$  of  $2.4 \times 10^{-6} \mu\text{g/l}$  is calculated by:

$$QS_{sed, freshwater, dw} = f_{OC} \times K_{OC} \times QS_{sec. pois., freshwater} \times 2.6$$

Where  $f_{OC}$  is 0.05 kg/kg (EU standard sediment),  $K_{OC}$  for PCB153 is 417,000 l/kg, and the value of 2.6 is used as a conversion factor from wet weight to dry weight.

$$\begin{aligned} QS_{sed, freshwater} &= 0.05 \text{ kg/kg} \times 417,000 \text{ l/kg} \times 2.4 \times 10^{-6} \mu\text{g/l} = 0.05 \mu\text{g/kg wet weight} \\ &= 0.05 \mu\text{g/kg wet weight} \times 2.6 = 0.13 \mu\text{g/kg dry weight (5% OC)} \\ &= 0.13 \mu\text{g/kg dry weight} / 0.05 = 2.6 \mu\text{g/kg dry weight x foc} \end{aligned}$$

$QS_{sed, freshwater}$  at 0.13  $\mu\text{g/kg dry weight}$  is significantly below the  $QS_{sed}$  derived from toxicity data for sediment-living organisms (220  $\mu\text{g/kg dry weight}$ ).

### Saltwater

$QS_{saltwater}$  is calculated by assuming equilibrium between a substance in sediment and in the water phase. The concentration of PCB153 in the water phase when the concentration in fish is 0.16  $\mu\text{g/kg fish wet weight}$  (derived  $QS_{sec. pois., saltwater}$ ) is found at:

$$QS_{saltwater} = QS_{sec. pois., saltwater} / BAF_{fish}$$

Where  $BAF_{fish}$  is 8,125,000 l/kg (table 3.3).

$$QS_{saltwater} = 0.16 \mu\text{g/kg fish wet weight} / 8,125,000 \text{ l/kg} = 2.0 \times 10^{-8} \mu\text{g/l}$$

The concentration in sediment at  $QS_{saltwater}$  of  $2.0 \times 10^{-8} \mu\text{g/l}$  is calculated by:

$$QS_{sed, saltwater, dw} = f_{OC} \times K_{OC} \times QS_{saltwater} \times 2.6$$

Where  $f_{OC}$  is 0.05 kg/kg (EU standard sediment),  $K_{OC}$  for PCB153 is 417,000 l/kg, and the value of 2.6 is used as a conversion factor from wet weight to dry weight.

$$\begin{aligned} QS_{sed, saltwater} &= 0.05 \text{ kg/kg} \times 417,000 \text{ l/kg} \times 2.0 \times 10^{-8} \mu\text{g/l} = 0.00042 \mu\text{g/kg wet weight} \\ &= 0.00042 \mu\text{g/kg wet weight} \times 2.6 = 0.0011 \mu\text{g/kg dry weight (5% OC)} \\ &= 0.0011 \mu\text{g/kg dry weight} / 0.05 = 0.022 \mu\text{g/kg dry weight x foc} \end{aligned}$$

$QS_{sed, saltwater}$  at 0.0011  $\mu\text{g/kg dry weight}$  is several orders of magnitude below the  $QS_{sed, saltwater}$  derived from toxicity data for sediment-living organisms (220  $\mu\text{g/kg dry weight}$ ).

### Conclusion of QS for sediment

As PCBs are highly hydrophobic and are not expected to be found in the water phase, the primary exposure will be through sediment and biota. Thereby, a conversion from biota to sediment should be made, to see if the sediment criteria based on direct effects on sediment-living organisms also ensure protection of biota. Two methods have been used in the current dossier; EqP and BSAF.

With both methods, values for  $QS_{sed}$  are obtained which are several factors below  $QS_{sed, SSD}$ , to which it is estimated that  $QS_{sed, SSD}$  will not ensure protection of biota.

When using the EqP method, relatively low values are obtained, which generally, compared to monitoring data, are somewhat below the lowest measured values. TGD (EU, 2018) recommends the conversion from biota to sediment (EU, 2018 section 5.2.3 p. 109), but is not clear how this additional calculation should actually be carried out. An attempt has been made in the current dossier, but this is not without uncertainties.

The method of using BSAF (only presented in Danish in section 6.6.2) is not recommended by TGD (EU, 2018), and due to uncertainties in the BSAF values, as well as a lack of information on organic carbon content, it is also not recommended to use as final value for sediment.

Therefore, it is concluded that, a final value for  $QS_{sed}$  that takes into account PCB's highly hydrophobic properties cannot be derived due to significant uncertainties in the methods used.

### QS for human consumption

The EU has formulated a general limit value in fish and fishery products of 75 µg/kg wet weight - which corresponds to 1.5 mg/kg lipid for PCB<sub>6</sub>. For fish oils, a general limit value of 200 µg/kg lipid has been formulated, which is suggested to be used:

$$QS_{hh\ food} = 75 \text{ }\mu\text{g/kg fish wet weight}$$

$$QS_{hh\ food} = 200 \text{ }\mu\text{g/kg lipid}$$

In conclusion, the following EQS for the aquatic environment have been derived for PCBs (cumulative values):

|                                |  |
|--------------------------------|--|
| $QS_{sed, freshwater}$         | = Not possible                                       |
| $QS_{sed, saltwater}$          | = Not possible                                       |
| $QS_{sec.\ pois., freshwater}$ | = 19.7 µg/kg fish wet weight<br>= 394 µg/kg lipid    |
| $QS_{sec.\ pois., saltwater}$  | = 0.16 µg/kg fish wet weight<br>= 3.2 µg/kg lipid    |
| $QS_{hh\ food}$                | = 75 µg/kg fish wet weight (EU)<br>= 200 µg/kg lipid |

These proposals do not include PCB118 as this substance is included in the EU quality standards (EU, 2012) for biota and human health:

$$QS_{sec.\ pois.\ \Sigma PCDD+PCDF+PCB-DL} = 0.0065 \text{ }\mu\text{g/kg TEQ}$$

$$QS_{hh\ food\ \Sigma PCDD+PCDF+PCB-DL} = 6.5 \text{ ng/kg fish wet weight}$$

These QSs from EU (2012) are formulated as a sum of several substances, so it is not straight forward to convert these QSs to similar sediment QSs. It should be noted that a final draft from February 2023 of the revised EU QSs is available on circabc, these will be up for negotiation before they are implemented in the directive.

# 1 Indledning

Polychlorerede biphenyler (PCB) er en gruppe af menneskeskabte kemikalier. De er olieagtige væsker eller faste stoffer, klare til gule i farven, uden lugt eller smag. PCB er meget stabile blandinger, der er resistente over for temperatur og tryk. PCB blev tidligere brugt meget i elektrisk udstyr såsom kondensatorer og transformere. De blev også brugt i hydrauliske væsker, varmeoverførselsvæsker, smøremidler og blødgørere samt i byggematerialer. PCB er tidligere blevet anvendt i f.eks. fugemasse og termoruder frem til 1977 og i elektroniske produkter frem til 1986. Kommerciel produktion af PCB sluttede i 1977 på grund af sundhedseffekter forbundet med eksponering. Derudover er PCB meget persistente i miljøet og har et stort potentiale for bioakkumulering og biomagnificering.

Anvendelse af PCB er blevet forbudt i EU i 80'erne.

Identiteten af de syv relevante PCB-kongenere (PCB<sub>7</sub>) fremgår af tabel 1.1, idet PCB<sub>7</sub> dækker de syv PCBer: PCB28, PCB52, PCB101, PCB118, PCB138, PCB153 og PCB180, mens PCB<sub>6</sub> dækker de seks PCBer: PCB28, PCB52, PCB101, PCB138, PCB153 og PCB180 dvs. det dioxinlignende PCB118 er ikke inkluderet i PCB<sub>6</sub>.

Tabel 1.1. Identitet af PCB tilhørende PCB<sub>7</sub>-gruppen

| Strukturformel |                                      |            |            |  |  |
|----------------|--------------------------------------|------------|------------|--|--|
| Navn           | IUPAC                                | CAS nr.    | EINECS nr. | Kemisk formel                                  | SMILES                                       |
| PCB28          | 2,4,4'-Trichlorobiphenyl             | 7012-37-5  | 230-293-2  | C <sub>12</sub> H <sub>7</sub> Cl <sub>3</sub> | C1=CC(=CC=C1C2=C(C=C(C=C2)Cl)Cl)C1           |
| PCB52          | 2,2',5,5'-Tetrachlorobiphenyl        | 35693-99-3 | 621-615-6  | C <sub>12</sub> H <sub>6</sub> Cl <sub>4</sub> | C1=CC(=C(C=C1Cl)C2=C(C=CC(=C2)Cl)Cl)Cl       |
| PCB101         | 2,2',4,5,5'-Pentachlorobiphenyl      | 37680-73-2 | 621-393-0  | C <sub>12</sub> H <sub>5</sub> Cl <sub>5</sub> | C1=CC(=C(C=C1Cl)C2=CC(=C(C=C2Cl)C1)Cl)Cl     |
| PCB118*        | 2,3',4,4',5'-Pentachlorobiphenyl     | 31508-00-6 | 621-375-2  | C <sub>12</sub> H <sub>5</sub> Cl <sub>5</sub> | C1=CC(=C(C=C1C2=CC(=C(C=C2Cl)Cl)C1)Cl)Cl     |
| PCB138         | 2,2',3,4,4',5'-Hexachlorobiphenyl    | 35065-28-2 | 621-377-3  | C <sub>12</sub> H <sub>4</sub> Cl <sub>6</sub> | C1=CC(=C(C(=C1C2=CC(=C(C=C2Cl)Cl)Cl)Cl)Cl)Cl |
| PCB153         | 2,2',4,4',5,5'-Hexachlorobiphenyl    | 35065-27-1 | 621-381-5  | C <sub>12</sub> H <sub>4</sub> Cl <sub>6</sub> | C1=C(C(=CC(=C1Cl)Cl)Cl)C2=CC(=C(C=C2Cl)Cl)Cl |
| PCB180         | 2,2',3,4,4',5,5'-Heptachlorobiphenyl | 35065-29-3 | 621-378-9  | C <sub>12</sub> H <sub>3</sub> Cl <sub>7</sub> | C1=C(C(=CC(=C1Cl)Cl)Cl)C2=CC(=C(C=C2Cl)Cl)Cl |

\* stoffet er dioxin-lignende

Strukturen af de enkelte PCB-kongener er vist i bilag D.

Gruppen af PCB (CAS nr. 1336-36-3) er generelt vurderet som værende persistent, bioakkumulerbar og toksisk (PBT-stof) og har jf. ECHAs hjemmeside følgende harmoniserede klassificeringer:

STOT RE 2; H373 (kan forårsage organuskader)

Aquatic Acute 1; H400 (meget giftig for vandlevende organismer)

Aquatic Chronic 1; H410 (meget giftig med langvarige virkninger for vandlevende organismer)

PCB blev tidligere forhandlet som en blanding af flere PCB-kongener.

Tabel 1.2 viser indholdet af de syv kongener i tidligere kommersielle PCB-produkter (i %).

Tabel 1.2. Indhold (%) af de syv PCBer i tidligere PCB-produkter

|                                       | <b>Aroclor<br/>1016</b> | <b>Aroclor<br/>1242</b> | <b>Aroclor<br/>1248</b> | <b>Aroclor<br/>1254</b> | <b>Aroclor<br/>1260</b> | <b>Clophen<br/>A60</b> | <b>Clophen<br/>A50</b> |
|---------------------------------------|-------------------------|-------------------------|-------------------------|-------------------------|-------------------------|------------------------|------------------------|
| PCB28                                 | 14,48                   | 13,3                    |                         |                         |                         |                        |                        |
| PCB52                                 | 4,35                    | 4,08                    | 8,36                    |                         |                         |                        | 5                      |
| PCB101                                |                         |                         |                         | 6,98                    | 5,04                    | 5,6                    | 7                      |
| PCB118                                |                         |                         |                         |                         |                         | 1,6                    | 7                      |
| PCB138                                |                         |                         |                         |                         | 5,01                    | 11,3                   | 5,1                    |
| PCB153                                |                         |                         |                         |                         | 8,22                    | 12,9                   | 4,2                    |
| PCB180                                |                         |                         |                         |                         | 7,2                     | 7,6                    | 0,98                   |
| Samlet mængde<br>PCB <sub>7</sub> (%) | 18,83                   | 17,38                   | 8,36                    | 6,98                    | 25,47                   | 39                     | 29,28                  |

## 2 Fysisk kemiske egenskaber

De fysisk kemiske egenskaber for relevante PCB-kongener fremgår af tabel 2.1.

Tabel 2.1. Fysisk kemiske egenskaber for PCB-kongener

|        | Molekylevægt<br>$M_w$ (g·mol <sup>-1</sup> ) | Smeltepunkt<br>$T_m$ (°C) | Kogepunkt<br>$T_b$ (°C) | Damptryk<br>$P_v$ (Pa) <sup>3</sup> | Vandopløselighed<br>$S_w$ (μg·L <sup>-1</sup> ) | Reference   |
|--------|--|---------------------------|-------------------------|-------------------------------------|---|---|
| PCB28  | 257,55                                       | 28-87                     | 337                     | 0,054                               | 160   | IARC 107, 2016;<br>Shiu & Mackay, 1986                  |
| PCB52  | 291,99                                       | 47-180                    | 360                     | 0,012                               | 30  | IARC 107, 2016;<br>Shiu & Mackay, 1986                  |
| PCB101 | 326,44                                       | 76,5-124                  | 381                     | 0,0026                              | 10  | IARC 107, 2016;<br>Shiu & Mackay, 1986                  |
| PCB118 | 326,44                                       | 76,5-124                  | 381                     | 0,0012                              | 13,4 <sup>1</sup>                               | IARC 107, 2016  |
| PCB138 | 360,88                                       | 77-200                    | 400                     | 0,00058                             | 0,0015 <sup>1</sup>                             | IARC 107, 2016;<br>EpiSuite eksp.<br>(vandopløselighed) |
| PCB153 | 360,88                                       | 77-200                    | 400                     | 0,09995                             | 0,9 <sup>2</sup> /1,0 <sup>2</sup>              | IARC 107, 2016;<br>Shiu & Mackay, 1986                  |
| PCB180 | 395,33                                       | 83-149                    | 417                     | 0,00013                             | 0,2 <sup>3</sup>                                | IARC 107, 2016  |

<sup>1</sup> Ved 20 °C

<sup>2</sup> Ved 25 °C

<sup>3</sup> Ved 25 °C

Tabel 2.1. Fysisk kemiske egenskaber for PCB-kongener, fortsat

|        | Log<br>$K_{ow}$    | Reference   | Log $K_{oc}$ | $K_{oc}$                    | Reference                | Henry's<br>konstant, H<br>(Pa·m <sup>3</sup> ·mol <sup>-1</sup> ) | Reference      |
|--------|--------------------|---|--------------|-----------------------------|--------------------------|---|----------------|
| PCB28  | 5,67<br>5,8<br>5,7 | IARC 107, 2016<br>Shiu & Mackay, 1986<br>Han et al., 2005 | 4,62         | 41.687<br>47.943-95.446     | ATSDR, 2000<br>MST, 2012 | 20,3  | EpiSuite, målt |
| PCB52  | 5,84<br>6,1<br>5,8 | IARC 107, 2016<br>Shiu & Mackay, 1986<br>Han et al., 2005 | 3,43         | 2691<br>49.453-153.960      | ATSDR, 2000<br>MST, 2012 | 20,3  | EpiSuite, målt |
| PCB101 | 6,38<br>6,4        | IARC 107, 2016<br>Shiu & Mackay, 1986                     | 5,79/5,93    | 616.595/<br>851.138         | ATSDR, 2000              | 9,12  | EpiSuite, målt |
| PCB118 | 6,74<br>6,4<br>6,6 | IARC 107, 2016<br>Shiu & Mackay, 1986<br>Han et al., 2005 | 5,0-5,1      | 101.800-<br>127.900         | EpiSuite,<br>beregnet    | 8,61  | EQS, 2011      |
| PCB138 | 6,83<br>7<br>6,85  | IARC 107, 2016<br>Shiu & Mackay, 1986<br>Han et al., 2005 | 6,16         | 1.445.439<br>50.141-311.782 | ATSDR, 2000<br>MST, 2012 | 2,13  | EpiSuite, målt |
| PCB153 | 6,92<br>6,9<br>6,8 | IARC 107, 2016<br>Shiu & Mackay, 1986<br>Han et al., 2005 | 5,62         | 416.869<br>68.759-239.603   | ATSDR, 2000<br>MST, 2012 | 2,33  | EpiSuite, målt |
| PCB180 | 7,36<br>7,21       | IARC 107, 2016<br>Han et al., 2005                        | 5,5-5,6      | 349.700-<br>440.400         | EpiSuite,<br>beregnet    | 1,01  | EpiSuite, målt |

# 3 Skæbne i miljøet

## 3.1 Nedbrydelighed

PCB-forbindelser er omfattet af Stockholm-konventionen (POP – Persistent Organic Pollutants) og er således vurderet som værende persistente.

Bionedbrydning sker under både aerobe og anaerobe forhold og er den overvejende nedbrydningsvej for PCB i jord og sediment.

Abiotisk nedbrydning i vand forekommer ikke i signifikant grad (ATSDR, 2000). Fotokemiske undersøgelser med forskellige chlorobiphenyl-kongener og commercielle PCB-blandinger i vandig suspension, tynd film eller i dampform udført under simuleret og naturligt sollys påviste adskillige nedbrydningsreaktioner, der resulterede i de-klorering, polymerisering og dannelsen af polære (hydroxy- og carboxy-) stoffer (Hutzinger et al., 1972 refereret i WHO, 2003).

I atmosfæren kan PCB reagere med hydroxylradikaler. De estimerede troposfæriske halveringstider for denne reaktion stiger med antallet af klor-substitutioner. Halveringstiden er 3,5-7,6 dage for monochlorobiphenyl, 5,5-11,8 dage for dichlorobiphenyl, 9,7-20,8 dage for trichlorobiphenyl, 17,3-41,6 dage for tetrachlorobiphenyl og 41,6-83,2 dage for pentachlorobiphenyl (Atkinson, 1987 refereret i WHO, 2003).

Sinkkonen & Paasivirta (2000) anslår følgende halveringstider for de ikke-dioxinlignende PCBer:

Tabel 3.1. Estimerede halveringstider (angivet i år) for ikke-dioxinlignende PCBer i vand og sediment (Sinkkonen & Paasivirta, 2000)

| PCB-gruppe                            | Vand (år) | Sediment (år) |
|---------------------------------------|-----------|---------------|
| Trichlorobiphenyl (PCB28)             | 0,16      | 3             |
| Tetrachlorobiphenyl (PCB52)           | 3,5       | 10            |
| Pentachlorobiphenyl (PCB101)          | 7         | 7-10          |
| Hexachlorobiphenyl (PCB138 og PCB153) | 13,5      | 19            |
| Heptachlorobiphenyl (PCB180)          | 27,5      | 38            |

## 3.2 Fordeling i miljøet

De udvalgte PCBer er delvist flygtige med en faldende Henrys konstant fra ca. 20 Pa·m<sup>3</sup>/mol for PCB28 til ca. 1 Pa·m<sup>3</sup>/mol for PCB180 (se tabel 2.1).

Stofferne er meget hydrofobe ( $\log K_{oc}$  varierer mellem 3,4-6,2) og en stor andel vil derfor binde sig til organisk stof i biota, sediment (i vandigt miljø) og i jordmatricen.

### 3.3 Bioakkumulering

Målte biokoncentrationsfaktorer (BCF) for de forskellige PCBer for forskellige vandlevende organismer kan ses i tabel 3.2. Data er hentet fra OSPAR (1998). Tilsyneladende er BCF-værdierne højere for fisk end for muslinger og bløddyr. BCF-værdierne stiger med antallet af klor-atomer med et maksimum muligvis omkring et klor-antal på seks. Der er dog ikke tilstrækkelige data til at verificere dette.

Målte bioakkumuleringsfaktorer (BAF) hentet fra ATSDR (2000) er vist i tabel 3.3 for forskellige organismegrupper.

Jævnfør ATSDR (2000) er PCB's BCF-værdier i vandlevende organismer direkte proportionale med fordelingskoefficienten og lipidindholdet i organismen, og de er specifikke for de enkelte kongener. BCF-værdierne for de højere klorerede homologer falder med kloreringsgraden fra en vis kloreringsgrad, fordi de større molekyler ikke let passerer gennem biologiske membraner.

Lavere klorerede PCBer (1-4 klor) optages let af organismer, men elimineres let og metaboliseres (ATSDR, 2000). Disse homologer bioakkumulerer således ikke i større udstrækning. De højst klorerede kongener (7-10 klor) forekommer i lave koncentrationer i miljøet og er tæt bundet med jord, sediment og organisk stof. Penta-, hexa- og hepta-PCBer er biotilgængelige og resistente mod nedbrydning i organismer, og disse PCB-homologer bioakkumuleres i organismer i størst grad (ATSDR, 2000).

Jævnfør WHO (2003) er elimineringen af PCB fra vandlevende organismer både arts- og kongener-specifik. Kongenere, der indeholder to nabo-hydrogenatomer ved meta- og para-positioner i mindst en aromatisk ring, vil let blive metaboliseret (Pruell et al., 1993 i WHO, 2003). Dette betyder, at PCB52 og PCB101 nemmere metaboliseres i vandlevende organismer end de øvrige fem PCBer.

Biotransformation af PCB i hvirveldyr ved hjælp af forskellige cytochrome P450-enzymer er afhængig af de specifikke PCB-kongenere (WHO, 2003). Hos rotter metaboliseres di-ortho PCB fortrinsvis af CYP2B-familien, mens CYP1A enzym fortørnsvis metaboliserer de ikke-ortho PCBer (Kaminsky et al., 1981 i WHO 2005). Aktiviteten er artsafhængig og er fx generelt meget lavere i muslinger end i krabber og fisk (Porte & Albaiges, 1993 i WHO, 2003). PCB-kongenerne 110, **138**, 149, **153** og 187 er fundet mest stabile i muslinger. De mest stabile PCB-kongenere i krabber er **138**, **153**, 170 og **180**; i multe **138**, **153**, 170, **180** og 187 og i tun 84, 110, **118** og **138** (Porte & Albaiges, 1993 i WHO, 2003). PCB-kongenerene, der behandles i dette datablad, er markeret med fed.

Tabel 3.2. Målte BCF (vådvægt) for de udvalgte PCBer i forskellige vandlevende organismer (første linje ud for hvert PCB indikerer: geometrisk gennemsnit, min-max, antal målinger). Data fra OSPAR (1998).

| Antal klor-atomer | PCB    | Musling                            | Bløddyr                              |                              |                          | Fisk                     |                                    |  |                           |                                       |
|-------------------|--------|------------------------------------|--------------------------------------|------------------------------|--------------------------|--------------------------|------------------------------------|--|---------------------------|---------------------------------------|
|                   |        |                                    | <i>Dreissena polymorpha</i>          | <i>Crassostrea virginica</i> | <i>Brachydanio rerio</i> | <i>Carassius auratus</i> | <i>Oncorhynchus mykiss</i>         | <i>Pimephales promelas</i>             | <i>Platichthys flesus</i> | <i>Poecilia reticulata</i>            |
| 3                 | PCB28  | 8.690<br>8.690-<br>8.690<br>n=2    | -                                    | -                            | -                        | -                        | -                                  | -                                      | -                         | -                                     |
| 4                 | PCB52  | 16.357<br>14.300-<br>21.400<br>n=3 | -                                    | 7.400                        | 83.000                   | 49.000                   | 97.400<br>7.500-<br>500.000<br>n=4 | 98.581<br>29.000-<br>390.000<br>n=6    | 190.000                   | 62.626<br>43.000-<br>84.000<br>n=3    |
| 5                 | PCB101 | 44.000<br>35.200-<br>55.000<br>n=2 | -                                    | -                            | 300.000                  | -                        | 250.000                            | -                                      | -                         | 47.000                                |
| 5                 | PCB118 | 49193<br>44.000-<br>55.000<br>n=2  | -                                    | -                            | -                        | -                        | -                                  | -                                      | -                         | 59.000                                |
| 5                 | PCB138 | 49.193<br>44.000-<br>55.000<br>n=2 | -                                    | -                            | 760.000                  | -                        | -                                  | -                                      | -                         | 130.000                               |
| 6                 | PCB153 | 400.000                            | 153.362<br>42.000-<br>560.000<br>n=2 | 48.000                       | 450.000                  | -                        | 69.000                             | 378.813<br>22.000-<br>1.500.000<br>n=4 | 3.200.000                 | 211.419<br>100.000-<br>450.000<br>n=3 |
| 7                 | PCB180 | 26.899<br>14.300-<br>50.600<br>n=2 | -                                    | -                            | -                        | -                        | -                                  | -                                      | -                         | -                                     |

Tabel 3.3. Feltmålinger af bioakkumuleringsfaktorer (BAF) (l/kg) for isomer grupper af PCBer. Fra ATSDR 2000. Bemærk, at hver isomer gruppe kan bestå af flere PCB-forbindelser

| Organisme                                | C <sub>12</sub> H <sub>7</sub> Cl <sub>3</sub> | C <sub>12</sub> H <sub>6</sub> Cl <sub>4</sub> | C <sub>12</sub> H <sub>5</sub> Cl <sub>5</sub> | C <sub>12</sub> H <sub>4</sub> Cl <sub>6</sub> | C <sub>12</sub> H <sub>3</sub> Cl <sub>7</sub> | C <sub>12</sub> H <sub>2</sub> Cl <sub>8</sub> |
|--|--|--|--|--|--|--|
| Amphipoder                               | 387.000  | 667.000  | 615.000  | 938.000  | 2.400.000                                      | 1.400.000                                      |
| Oligochaeter                             | 127.000  | 180.000  | 154.000  | 150.000  | 259.000  | 310.000  |
| Slimet ulk ( <i>Cottus cognatus</i> )    | 87.000   | 633.000  | 1.490.000                                      | 3.125.000                                      | 5.185.000                                      | 7.500.000                                      |
| Flodsild ( <i>Alosa pseudoharengus</i> ) | 173.000  | 833.000  | 1.380.000                                      | 2.125.000                                      | 2.960.000                                      | 3.100.000                                      |
| Smelt ( <i>Osmerus mordax</i> )          |  |  |  |  |  |  |
| Lille                                    | 42.000   | 367.000  | 590.000  | 1.063.000                                      | 1.590.000                                      | 1.600.000                                      |
| Stor                                     | 93.000   | 933.000  | 1.380.000                                      | 2.375.000                                      | 3.148.000                                      | 3.300.000                                      |
| Laksefisk                                | 293.000  | 2.170.000                                      | 4.100.000                                      | 8.125.000                                      | 11.300.000                                     | 13.000.000                                     |

Biomagnificering af PCB er observeret i den akvatiske fødekæde. Ved sammenligning af BCF-værdierne i tabel 3.2 og BAF-værdierne i tabel 3.3, fremgår det således også, at BAF-værdierne

generelt er væsentligt højere end de tilsvarende BCF-værdier, hvilket bekræfter, at PCBerne biomagnificerer i fødekæderne.

Biomagnificering er synlig i skaldyr, der akkumulerer PCB ved indtag af planteplankton og dyreplankton, ligesom biomagnificering er synlig i havpattedyr (sæler, delfiner og hvaler), som akkumulerer PCB fra indtag af plankton og fisk. Biomagnificering i fødekæden forekommer også i flere arter af fiskekonsumerende fugle. Biomagnificering af PCB i den akvatiske fødekæde er specifik for de enkelte kongener og er mest fremherskende for kongener med log  $K_{ow}$ -værdier mellem 5 og 7 (ATSDR, 2000).

Målte koncentrationer i spættede sæler samt i deres føde ("Food basket") for summen af PCB ( $\Sigma$ PCB) samt PCB153 er givet i Cullon et al. (2012). Herfra kan biomagnificeringsfaktorerne (BMF) beregnes.

Tabel 3.4. Målte PCB-koncentrationer i spættede sæler og i deres føde. Fra Cullon et al. (2012).

| Art                             | %lipid | $\Sigma$ PCB                                |                               |                   |                                    | PCB153                                      |                               |                   |                                    |
|---------------------------------|--------|---|-------------------------------|-------------------|------------------------------------|---|-------------------------------|-------------------|------------------------------------|
|                                 |        | Koncentration                               |                               | BMF (føde=>sæl)   |                                    | Koncentration                               |                               | BMF (føde=>sæl)   |                                    |
|                                 |        | $\mu\text{g}/\text{kg}$<br>vv <sup>a)</sup> | $\mu\text{g}/\text{kg}$ lipid | kg vv/kg vv<br>a) | kg lipid/kg<br>lipid <sup>a)</sup> | $\mu\text{g}/\text{kg}$<br>vv <sup>a)</sup> | $\mu\text{g}/\text{kg}$ lipid | kg vv/kg vv<br>a) | kg lipid/kg<br>lipid <sup>a)</sup> |
| Spættede sælers<br>fædegrundlag | 4,2    | 17  | 408                           | -                 | -                                  | 3,15  | 75                            | -                 | -                                  |
| Spættede sæler (hanner)         | 36±6,9 | 3114  | 8.652±1.888                   | 182               | 21                                 | 803,6                                       | 2232±487                      | 255               | 30                                 |
| Spættede sæler (hunner)         | 36±1,6 | 1169  | 3.248±978                     | 68                | 8                                  | 241   | 669±201                       | 76                | 9                                  |
|                                 |        | Gennemsnit                                  |                               |                   |                                    | 14,5  | Gennemsnit                    |                   | 19,5                               |

<sup>a)</sup> Beregnede BMF (bereget fra data i Cullon et al., 2012)

På basis af et modelleringsarbejde (Arblaster et al., 2015) er der beregnet en BMF for spækhuggere, som er ca. 24 gange højere end BMF for sæler.

På basis af data i Borgå et al. (2005), kan en BMF (fisk → fiskespisende fugle) på under 8-12 kg lipid/kg lipid estimeres for de arktiske fugle tejst og lomvie. Biomagnificeringen er videre i et andet studie målt i lomvie, hvor en BMF på hhv. 9,4 kg lipid/kg lipid (torsk → lomvie) og 17 kg lipid/kg lipid (polær torsk → lomvie) er angivet for  $\Sigma$ (PCB 28, 31, 47, 99, 105, 118, 138, 149, 153) (Borgå et al., 2001).

Biomagnifikationen er videre målt i æg fra fiskespisende fugle. Her er for PCB153 fundet BMF-værdier på hhv. 48 kg lipid/kg lipid (sild → mågeæg) og 6 kg lipid/kg lipid (føde → fiskeørn) (Henny et al., 2003).

Niveauet for BMF (kg lipid/kg lipid) (føde → organisme) er således omtrentligt det samme for fugle og sæler.

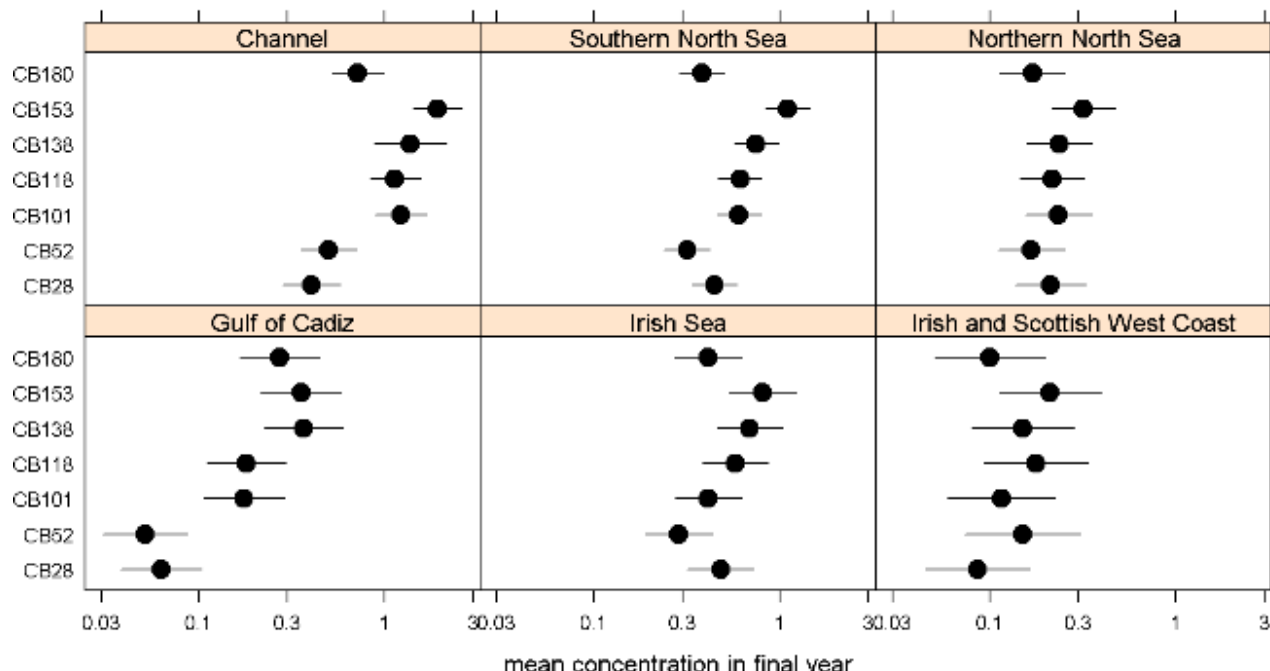
### 3.4 Naturlig forekomst

PCB forekommer ikke naturligt i miljøet og er udelukkende tilført ved menneskelig aktivitet.

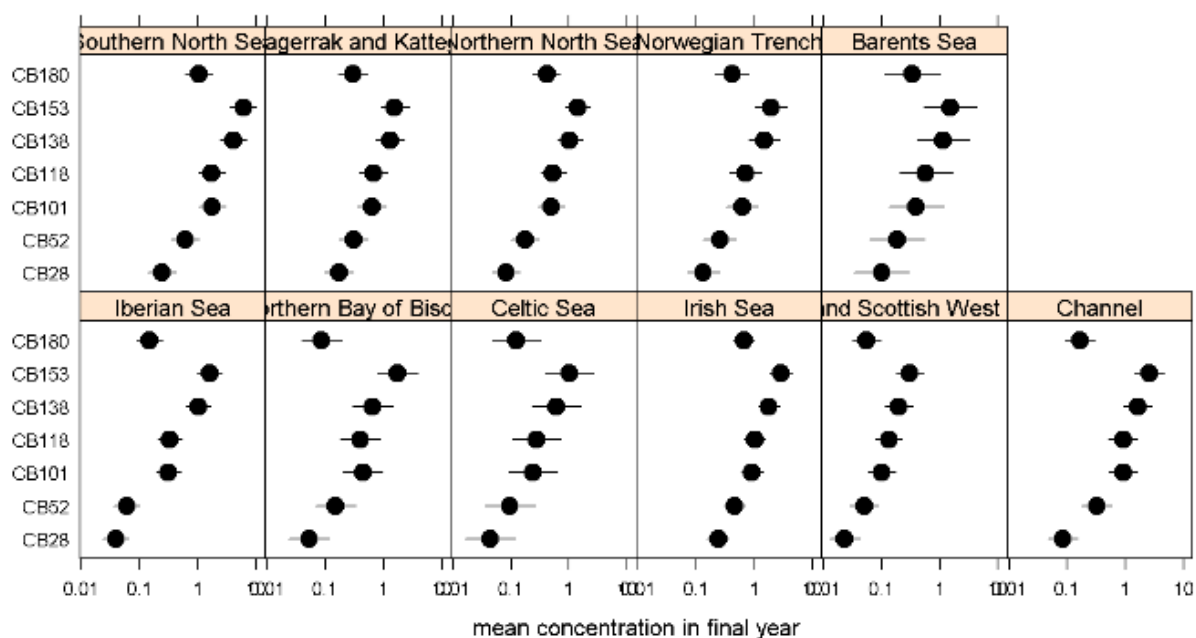
Forkomsten af PCB<sub>7</sub> i miljøet bliver løbende moniteret og rapporteres bl.a. i OSPAR-regi. På basis af målinger og modelberegninger, er koncentrationsprofiler for forskellige regioner i OSPAR-

området beregnet sammen med en beregnet varians for estimatet. Koncentrationsprofiler med 95% konfidensintervaller for de syv PCBer i sediment og i biota er vist i figur 3.1 og figur 3.2.

Det fremgår, at de ”mindre” PCBer (PCB28, PCB52) generelt forekommer i lidt lavere niveauer end især PCB101-PCB153, som også forekommer i lidt højere niveauer end PCB180. Generelt er forekomsten af PCB153 den højeste både i sediment og i biota.



Figur 3.1. Estimerede koncentrationer af PCB<sub>7</sub>, inklusiv 95% konfidensinterval, i sediment ( $\mu\text{g}/\text{kg}$  tørvægt) for forskellige OSPAR-regioner. Figuren er hentet fra ICES (2016a).



Figur 3.2. Estimerede koncentrationer af PCB<sub>7</sub>, inklusive 95% konfidensinterval, i biota ( $\mu\text{g}/\text{kg}$  vådvægt) for forskellige OSPAR-regioner. Figuren er hentet fra ICES (2016b).

# 4 Toksicitetsdata

Der er generelt søgt data i let tilgængelige oversigtsværker og sammenfattende rapporter. Endvidere er der søgt efter data for sedimentlevende organismer i SETAC's database (SETAC Sediment Advisory Group (SEDA), Spiked Sediment Toxicity Database) og i US EPA's database (ECOTOXicology knowledgebase), hvorefter de relevante data er fundet i original litteratur. Der blev dog ikke fundet relevante data i ECOTOX-databasen.

Troværdigheden af de anvendte studier er vurderet ved tildelingen af en Klimisch score fra 1 til 4 (Klimisch et al., 1997). Score 1 angiver, at studiet kan anvendes uden forbehold, mens score 2 angiver at studiet kan anvendes med forbehold, f.eks. at der er tilstrækkelige oplysninger til stede, selvom studiet ikke er udført i forhold til guideline. Studier som ikke er tilstrækkeligt beskrevet tildeles score 3 eller 4, hvor score 4 tildeles studier, hvor det ikke er muligt at vurdere kvaliteten og dermed troværdigheden.

## 4.1 Toksicitet over for sedimentlevende organismer

Særligt de høj-klorerede PCB-kongenere adsorberes kraftigt til sediment, hvor de kun meget langsomt nedbrydes med halveringstider fra måneder til år.

Der er kun fundet meget få toksicitetsdata for sedimentlevende organismer og de er alle fundet for blandinger af PCBer. De fundne data er listet i bilag A.

Den umiddelbart mest følsomme organisme er saltvandsmuslingen *Macoma nasuta* (Bent-nosed clam), hvor en NOEC (overlevelse, vækst) på 81 µg/g organisk karbon (OC) (4.050 µg/kg tørvægt ved et EU standard-sediment indhold på 5% OC) er målt efter 119 dages eksponering (Boese et al., 1995).

## 4.2 Toksicitet over for pattedyr og fugle

Der er et overordentligt stort datamateriale omkring PCBer's toksicitet over for pattedyr og fugle. I forbindelse med afledning af et sundhedsbaseret kvalitetskriterie for jord for PCB (Miljøstyrelsen, 2014) og et miljøkvalitetskriterie for jord for PCB (Miljøstyrelsen, 2012) er der indsamlet en stor datamængde. Bilag B og C giver en oversigt over de fundne data.

For de enkelte PCBer (med undtagelse af det dioxin-lignende PCB118) er der fundet kritiske NOAEL/LOAEL-værdier for test med pattedyr (primært rotter) vist i tabel 4.1. Værdierne er markeret med fed i den samlede dataoversigt i bilag B.

Tabel 4.1. NOAEL/LOAEL for ikke-dioxin lignende PCBer.

| PCB    | Effekt                                      | End-point | Dosis ( $\mu\text{g}/\text{kg lgv/dag}$ ) | Reference i Miljøstyrelsen (2014) |
|--------|---|-----------|---|-----------------------------------|
| PCB28  | 90 dages toxicitet, rotte, lever og thyroid | NOAEL     | 36 per oral (p.o.)                        | Chu, 1996a                        |
| PCB52  | Læring, rotte afkom                         | NOAEL     | 1.000                                     | Boix, 2010                        |
| PCB101 | Thyroid, rotte                              | LOAEL     | 16.000 intraperitonalt (i.p.)             | Khan, 2002, 2003                  |
| PCB138 | Læring, rotte afkom                         | LOAEL     | 1.000                                     | Boix, 2010                        |
| PCB153 | Testikel/sperm, rotte afkom                 | NOAEL     | 25  | Xiao, 2010                        |
| PCB180 | 28-dages toxicitet, lever hypertrofi, rotte | NOAEL     | 340                                       | Ross, 2011                        |

Ved studier med PCB-blandinger er følgende kritiske toksicitet fundet (se bilag C for den samlede datamængde).

De angivede usikkerhedsfaktorer (UF) i tabel 4.2, som stammer fra tabel 9 i EU (2018), er baseret på, om studiet er kronisk (UF sættes til 1), sub-kronisk (UF sættes til 3), sub-akut (UF sættes til 10) eller akut (UF sættes til 100). Det bemærkes, at der i datasamlingen ikke har indgået akutte studier, så en UF på 100 er således ikke anvendt. Tabel 9 i EU (2018) giver dog anledning til nogen fortolkning, da tabellen umiddelbart ikke inkluderer subkroniske og subakutte studier for fugle.

Videre viser tabel 4.2 det antagede fødegrundlag og de omregnede koncentrationer, som er videre beskrevet i afsnit 6.3. Værdierne i tabel 4.2 er videre markeret med fed i den samlede dataoversigt i bilag C.

Tabel 4.2. NOEC/EC<sub>10</sub> for effekter af PCB-blandinger på fugle og pattedyr

| Dyr  | PCB          | Endpoint          | Konc. i føde (mg/kg) | Ekspone-ringstid (dage) | UF (kronisk/subkronisk/subakut/akut) (tabel 9 i EU, 2018) | Antaget føde (tabel 8 i EU, 2018) | Omregnet konc. ( $\mu\text{g}/\text{kJ}$ ) | Bemærkninger   | Reference                                       |
|--|--------------|-------------------|----------------------|-------------------------|---|-----------------------------------|--|--|---|
| <i>Anas platyrhynchos</i> (gråand)           | Aroclor 1242 | EC <sub>8,9</sub> | 150                  | 84                      | 3 (subkronisk)  | Græs- og kornfrø                  | 3,19                                       | Tykkelse på æggeskallen  | Hasseltine & Prouty, 1980                       |
| <i>Coturnix coturnix</i> (vagtel)            | Clophen A60  | EC <sub>10</sub>  | 33,6                 | 21                      | 10 (subakut)  | Græs- og kornfrø                  | 0,214                                      | 10% stigning i levervægt. mg/kg foder. Udtrukket fra data i artiklen. Ingen statistisk forskel mellem ♂♂ og ♀♀. Data for ♂♂ og ♀♀ derfor samlet. | Biessmann, 1982                                 |
| <i>Falco sparverius</i> (amerikansk tåmfalk) | Aroclor 1242 | EC <sub>10</sub>  | 7                    | 150                     | 1 (kronisk)   | Mindre pattedyr                   | 1,03                                       | Nedsatte niveauer af thyroxin i plasma. Værdien fra fundet ud fra gennemsnit af malinger for uge 3, 4 og 5                                       | Quinn et al., 2002                              |
| <i>Gallus gallus</i> (høns)                  | Aroclor 1254 | EC <sub>10</sub>  | 0,5                  | 217-294                 | 1 (kronisk)   | Græs- og kornfrø                  | 0,0319                                     | Æglægning. Udtrukket fra data i artikel  | Solly et al., 1976                              |
| <i>Uria aalgae</i> (lomvie)                  | Aroclor 1254 | EC <sub>10</sub>  | 22                   | 45                      | 10 (subakut)  | Fisk                              | 0,398                                      | Hypofysevægt. Værdi anslæt ud fra den regression, der er givet i artiklen  | Jefferies & Parslow, 1976; Barrett et al., 2002 |
| <i>Macaca mulatta</i> (rhesus abe)           | Aroclor 1248 | EC <sub>10</sub>  | 1                    | 140                     | 3 (subkronisk)  | Frugt                             | 0,14                                       | Reduktion i serum gamma globulin. Ca.  | Thomas & Hinsdill, 1978                         |

|  |              |                  |     |     |                |                  |        | værdi udledt fra data i artiklen  |                             |
|--|--------------|------------------|-----|-----|----------------|------------------|--------|---|-----------------------------|
| <i>Mus musculus</i> (mus)                  | Aroclor 1248 | EC <sub>10</sub> | 18  | 35  | 10 (subakut)   | Græs- og kornfrø | 0,115  | Stigning i dødelighed efter endotoksinbelæsning. Ca. værdi vurderet ud fra data i artiklen. | Thomas & Hinsdill, 1978     |
| <i>Mustela putorius</i> (ilder)            | Aroclor 1016 | NOEC             | 10  | 240 | 1 (kronisk)    | Fisk             | 1,81   | Reproduktion  | Bleavins et al., 1980       |
| <i>Peromyscus leucopus</i> (hvidfodet mus) | Aroclor 1254 | EC <sub>10</sub> | 9,4 | 35  | 10 (subakut)   | Græs- og kornfrø | 0,0599 | Stigning i levervægt. Ca. værdi deduceret fra data i artiklen                               | Sanders & Kirkpatrick, 1977 |
| <i>Rattus norvegicus</i> (rotte)           | Aroclor 1254 | EC <sub>10</sub> | 13  | 105 | 1 (kronisk)    | Kommersiel foder | 0,936  | Leverbægt hos hannerne. Ca. værdi deduceret fra data i artiklen.                            | Earl Gray et al., 1993      |
| <i>Sus scrofa</i> (svin)                   | Aroclor 1254 | EC <sub>10</sub> | 32  | 56  | 10 (subakut)   | Kommersiel foder | 0,23   | Leverbægt. Udledt fra data i artikel  | Miniat et al., 1977         |
| <i>Cavia porcellus</i> (marsvin)           | Clophen A50  | NOEC             | 25  | 43  | 10 (subakut)   | Græs- og kornfrø | 0,159  | Vægtfald for mødre. Antallet af døde fostre var ca. 3 × kontrolniveau                       | Lundkvist, 1990             |
| <i>Mustela vison</i> (mink)                | Aroclor 1254 | EC <sub>10</sub> | 0,3 | 120 | 3 (subkronisk) | Fisk             | 0,0181 | Sæt pr. hun. Ca. værdi deduceret fra data i artiklen  | Aulerich & Ringer, 1977     |

#### 4.3 Toksicitet over for mennesker

Næsten fuldstændig gastrointestinal absorption er observeret for PCB28, PCB52 og PCB101. En absorption på mere end 60% er observeret for PCB138, PCB153 og PCB180, hvilket tyder på at absorptionsgraden falder med stigende antal kloratomer (IARC 107, 2016).

PCBer er lipofile stoffer og tilbageholdes og evt. akkumuleres i fedtvæv og fedtrigt væv. Særligt tre kongenere (PCB138, PCB153 og PCB180) er fundet i fedtvæv, plasma og lever hos mennesker. PCBer kan både passere blod-hjerne-barrieren samt placenta (IARC 107, 2016).

Der er stor forskel på metabolismen. Kongenere med fire eller færre kloratomer metaboliseres hurtigst. PCBer udskilles primært med fæces med en halveringstid i kroppen på 8-15 år for de højest klorerede forbindelser (IARC 107, 2016).

PCBer kan forårsage organskade ved længerevarende eller gentagen eksponering (fareklassificering STOT RE 2; H373).

Der er fastsat EU-grænseværdier for dioxin, dioxinlignende PCB og ikke-dioxinlignende PCB i fødevarer. Grænseværdierne for dioxin og dioxinlignende PCBer kan ses i Forordning nr. 1881/2006 (EF, 2006), hvor det tolerable ugentlige indtag (TWI) er sat til 14 pg TEQ<sup>1</sup>/kg lgv/uge for dioxiner og dioxinlignende PCBer. Videre er der i Forordning nr. 1259/2011 fastsat grænseværdier for ikke-dioxinlignende PCBer. I nedenstående tabel (tabel 4.3) ses grænseværdier for PCB6 i fisk og fiskevarer formuleret i den seneste konsoliderede udgave af EU-forordningen 1881/2006 (EF, 2006).

<sup>1</sup> TEQ (toksicitetsækvivalent) beregnes som den koncentrationsvægtede sum af TEF (Toxic Equivalency Factor):  $TEQ = \sum C_i \cdot TEF_i$ . Det dioxin-lignende PCB118 er jævnfør Forordningen 1881/2006 tildelt en TEF på 0,00003.

Tabel 4.3. Grænseværdier for PCB<sub>6</sub> i EU-forordningen 1259/2011 (EU, 2012)

|   | Grænseværdi for PCB <sub>6</sub><br>( $\mu\text{g}/\text{kg}$ vådvægt) |
|---|--|
| Muskelskød af fisk og fiskevarer og produkter deraf med undtagelse af:<br><ul style="list-style-type: none"> <li>• vildfanget ål</li> <li>• vildtfangede pighaj (<i>Squalus acanthias</i>)</li> <li>• vildtfangede ferskvandsfisk med undtagelse af diadrome fiskearter fanget i ferskvand</li> <li>• fiskelever og afledte produkter</li> <li>• fiskeolier</li> </ul><br>Det maksimale niveau for krebsdyr gælder for muskelkød fra lemmer og bagkrop. For <i>Brachyura</i> og <i>Anomura</i> gælder det for muskelkød fra lemmer. | 75   |
| Muskelskød af vildfanget ferskvandsfisk med undtagelse af diadrome fiskearter fanget i ferskvand og produkter deraf   | 125  |
| Muskelkød af vildtfanget pighaj ( <i>Squalus acanthias</i> ) og produkter deraf   | 200  |
| Muskelkød af vildtfange ål ( <i>Anguilla anguilla</i> ) og produkter deraf  | 300  |
| Fiskelever og afledte produkter deraf - med undtagelse af fiskeolier  | 200  |
| Fiskeolier beregnet til konsum  | 200 $\mu\text{g}/\text{kg}$ lipid                                      |

En tolerabel daglig indtagelse (TDI) på 20 ng/kg lgv/dag er afledt for blandinger af PCBer (WHO, 2003). Forudsat at summen af de såkaldte indikator-PCBer (PCB28, 52, 101, 138, 153 og 180) repræsenterer ca. 50% af alle PCB-kongener, er en TDI på 10 ng/kg lgv/dag blevet anvendt som referenceværdi.

## 5 Andre effekter

Generelt er PCB kendt for at have en række sundhedsskadelige effekter. Negative effekter på udvikling, imunsystemet, metabolisme (herunder sygdomme så som type II diabetes), thyroid systemet og reproduktion, kan alle være relaterede til hormonforstyrrende effekter (Djordjevic et al., 2020). Overvejende viser data på dyr at PCB kan identificeres som hormonforstyrrende (Djordjevic et al., 2020; Troisi et al., 2020).

PCB118 er en dioxin-lignende kongener, som er påvist af have hormonforstyrrende effekter (IARC 107, 2016).

# 6 Udledning af vandkvalitetskriterium

## 6.1 Tidlige værdier

ICES har i 2008 foreslået OSPAR Environmental Assessment Criteria (EAC) værdier for de syv PCBer (OSPAR, 2008). Disse er vist i tabel 6.1. EAC for vand er afledt på basis af målte toksicitetsdata for PCB28, PCB52, PCB101, PCB138, PCB153, PCB180, hvor der kun har været et begrænset datasæt for især PCB101 og PCB138. EAC for vand for PCB28 og PCB118 er baseret på QSAR-estimater. EAC for sediment og biota (muslinger og fisk) er afledt på basis af ligevægtsberegninger.

Tabel 6.1. OSPAR foreslæde EAC-værdier (OSPAR, 2008)

| Kongener | EAC - vand (ng/l) | EAC - sediment ( $\mu\text{g kg tørvægt, 1% OC}$ ) | EAC – sediment ( $\mu\text{g/kg tørvægt, 5% OC}$ ) <sup>2</sup> | EAC (muslinger, $\mu\text{g/kg tørvægt}$ ) | EAC (fisk, $\mu\text{g/kg lipid}$ ) | EAC (muslinger, sekundær forgiftning, $\mu\text{g/kg vådvægt})$ | EAC (fisk, sekundær forgiftning, $\mu\text{g/kg vådvægt})$ |
|----------|-------------------|--|---|--|-------------------------------------|---|--|
| PCB28    | 0,7               | 0,67   | 3,35  | 3,2  | 67                                  | 2,7   | 27   |
| PCB52    | 0,86              | 1,08   | 5,4   | 5,4  | 108                                 |   |  |
| PCB101   | 0,02              | 0,121  | 0,605   | 6,0  | 121                                 |   |  |
| PCB118   | 0,026             | 0,25   | 1,25  | 1,2  | 25                                  |   |  |
| PCB138   | 0,02              | 0,317  | 1,59  | 15,8                                       | 317                                 |   |  |
| PCB153   | 1,0               | 15,85  | 79,25   | 80   | 1585                                | 5,3   | 53   |
| PCB180   | 0,2               | 4,69   | 23,45   | 24   | 469                                 |   |  |

Både Sverige, Norge og Nederlandene har fastsat nationale EQS-værdier for sediment for PCB. Sverige har baseret deres på PCB<sub>total</sub>, mens Norge og Nederlandene har anvendt PCB<sub>7</sub><sup>3</sup>, der således inkluderer den dioxin-lignende PCB118.

For biota har Sverige baseret deres EQS-værdi på PCB<sub>6</sub><sup>4</sup>, mens Norge har baseret deres på PCB<sub>7</sub>. EU har sat et kvalitetskrav for biota på summen af PCDD+PCDF+DL-PCB<sup>5</sup> (Fødevare- og Miljøministeriet, 2017). Værdierne er angivet i tabel 6.2.

<sup>2</sup> Omregning foretaget i dette datablad

<sup>3</sup> PCB<sub>7</sub> dækker de syv PCBer: PCB28, PCB52, PCB101, PCB118, PCB138, PCB153, PCB180

<sup>4</sup> PCB<sub>6</sub> dækker de seks PCBer: PCB28, PCB52, PCB101, PCB138, PCB153, PCB180

<sup>5</sup> DL-PCB: dioxinlignende PCBer

Tabel 6.2. Foreslæde EQS-værdier for sediment og biota fra Sverige, Norge, Nederlandene og EU (Jensen et al., 2019). EU-kvalitetskravet er gældende fra 2018.

|   | Sverige   | Norge                      | Nederlandene             | EU   |
|---|---|----------------------------|--------------------------|--|
| EQS <sub>sediment</sub> [mg/kg tørvægt] | 0,03 (ferskvand) (PCB <sub>total</sub> )<br>0,02 (saltvand) (PCB <sub>total</sub> ) | 0,0041 (PCB <sub>7</sub> ) | 0,02 (PCB <sub>7</sub> ) |  |
| EQS <sub>biota</sub> [mg/kg vådvægt]    | 0,075 (PCB <sub>6</sub> )   | 0,0006 (PCB <sub>7</sub> ) |                          | 0,0065 µg kg <sup>-1</sup> TEQ <sup>6</sup><br>(summen af PCDD + PCDF<br>+ PCB (dioxinlignende)) |

## 6.2 Kvalitetskriterium for sediment (SKK)

Log K<sub>ow</sub> for PCB er væsentlige højere end 3 (5,7-7,4), og det er derfor relevant at beregne et kvalitetskriterium for sediment, SKK, jf. EU's Guidance Document no. 27: Technical Guidance Document (TGD) for Deriving Environmental Quality Standards (EU, 2018).

Indledningsvist defineres følgende:

- PCB<sub>7</sub>: dækker alle syv PCBer: PCB28, PCB52, PCB101, PCB118, PCB138, PCB153, PCB180
- PCB<sub>6</sub>: dækker de seks PCBer: PCB28, PCB52, PCB101, PCB138, PCB153, PCB180, dvs. det dioxinlignende PCB118 ikke er inkluderet i PCB<sub>6</sub>

Naturligt nok er de fleste toksicitetsdata målt for en blanding af PCBer. De enkelte PCBer vil ikke nødvendigvis være lige toksiske, og især de dioxin-lignende PCBer menes at være mere toksiske end de øvrige PCBer. Fortolkning af resultaterne i forhold til at beregne miljøkvalitetskriterier (MKK) for de syv PCBer kan principielt gøres på flere måder:

- at antage, at alt målt toksicitet alene refererer til PCB<sub>7</sub> – og at de øvrige PCB-forbindelser i testen ikke bidrager til den målte toksicitet. Hvis der således var målt en NOEC på 10 mg/kg ved test med Aroclor 1254, hvor indholdet af PCB<sub>7</sub> er ca. 7%, ville NOEC for PCB<sub>7</sub> blive omregnet til  $10 \text{ mg/kg} \times 0,07 = 0,7 \text{ mg/kg}$ . Dette vil være meget konservativt.
- at antage, at de ikke dioxin-lignende PCBer repræsenterer 50% af alle PCBer og anvende 50% af de målte effektkoncentrationer som et mål for effektkoncentrationen af PCB<sub>6</sub>. Dette vil være meget konservativt.
- at, de indgående PCBer er lige toksiske (både de dioxinlignende og de ikke dioxinlignende), så det kan antages, at den målte toksicitet for en blanding svarer til den toksicitet, der ville blive målt, hvis testen alene blev udført for PCB<sub>6</sub>.

Der er her valgt at anvende den sidstnævnte taktik, da de øvrige vurderes at være for konservative.

Da PCB118 er dækket af WHO's og EU's kvalitetskrav er der ikke udledt en værdi for denne kongener.

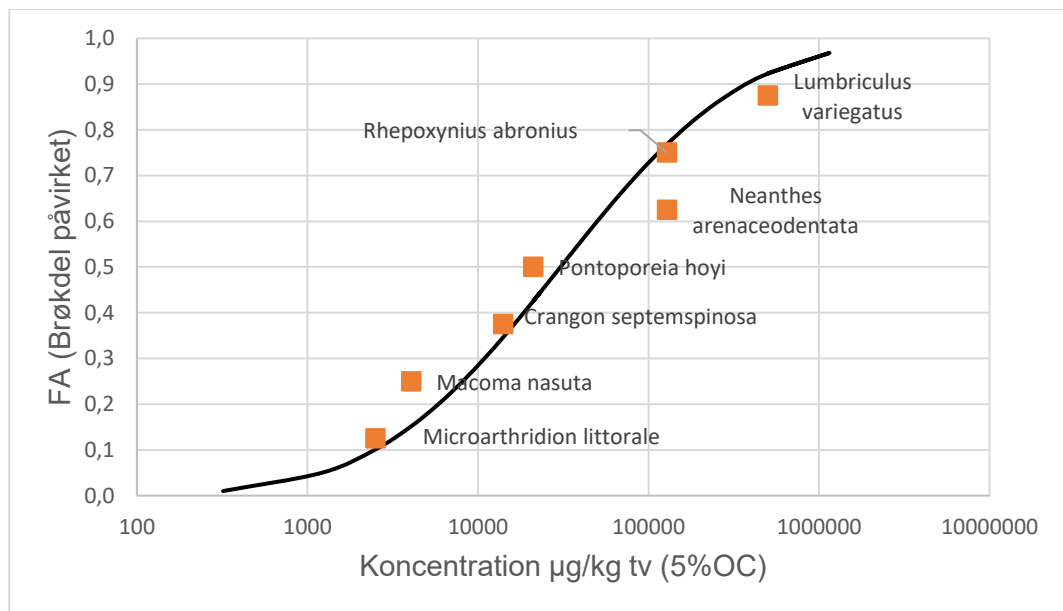
Der er fundet kroniske toksicitetsværdier for syv arter repræsenterende seks overordnede taksonomiske grupper med vidt forskellige fødesøgningsstartegier: Bivalvia, Polychaeta,

<sup>6</sup>PCDD: polychlorerede dibenzo-p-dioxiner; PCDF: polychlorerede dibenzofuraner; TEQ: toksicitetsækvivalenter ifølge Verdenssundhedsorganisationens toksicitetsækvivalensfaktorer fra 2005, hvor de dioxinlignende PCBer bidrager med en TEF-værdi på 0,00003.

Oligochaeta, Amphipoda, Copepoda og Decapoda. Dertil er der kun fundet meget få data for ferskvands sediment (ét troværdigt studie for børsteormen *Lumbriculus variegatus*, øverst i figur 6.1), hvortil ferskvands- og saltvandsdata puljes.

Artsdiversiteten i sediment er betydeligt lavere end i vandsøjen og med syv arter fra seks overordnede taksonomiske grupper vurderes data tilstrækkeligt til at udføre en Species Sensitivity Distribution (SSD) med sedimentlevende organismer. De data, der indgår i SSDen er market med fed i bilag A. Videre viser bilag A de anvendte normaliserede effektkoncentrationer, hvor der antages et EU standard sediment indhold med 5% organisk karbon (OC).

Ud fra de statistiske tests på data for sedimentlevende organismer (bilag E) vurderes det acceptabelt at anvende HC<sub>5</sub>-værdien baseret på en SSD etableret for de kroniske data for både ferskvands- og saltvands sedimentlevende organismer. Til at bestemme HC<sub>5</sub>-værdien anvendes metoden beskrevet i Aldenberg og Jaworska (2000). SSD'en ses nedenfor i figur 6.1.



Figur 6.1. SSD-fordeling for målte effektkoncentrationer i sediment for PCB<sub>6</sub>

HC<sub>5</sub> beregnes til 1,1 mg/kg tørvægt (5% OC). Det nedre og øvre 90% konfidensinterval ligger på hhv. 0,06 og 4,7 mg/kg tørvægt (5% OC).

Med kun syv arter repræsenterende seks overordnede taksonomiske grupper anvendes en usikkerhedsfaktor på 5, som er den højeste usikkerhedsfaktor, der generelt anvendes ved SSD (EU, 2018). Der anvendes ikke en ekstra usikkerhedsfaktor for saltvand, idet der er data for seks saltvandsarter.

Det udledte SKK for PCB<sub>6</sub> for fersk- og saltvand er således:

$$\begin{aligned} \text{SKK} &= 1,1 \text{ mg/kg tørvægt (5% OC)} / 5 = 0,22 \text{ mg/kg tørvægt (5% OC)} \\ &= 0,22 \text{ mg/kg tørvægt} / 0,05 = 4,4 \text{ mg/kg tørvægt x foc} \end{aligned}$$

Det skal bemærkes på baggrund af den høje log K<sub>ow</sub> (5,7-7,4), at ifølge EU (2018) er beskyttelsen af sedimentlevende organismer muligvis ikke det centrale mål ved fastsættelse af et

sedimentkvalitetskriterium for de meget hydrofobe organiske stoffer, såsom netop PCBerne. De direkte toksiske virkninger i sedimentet kan opstå ved koncentrationer, som er langt over de koncentrationer, som udgør en risiko for dyr placeret på højere trofiske niveauer f.eks. rovfisk, pattedyr og fugle. Hvis sedimentet er den primære eksponeringskilde for dyret (fisk eller pattedyr), bør kvalitetskriteriet for sådanne stoffer afledes fra kvalitetskriteriet for biota.

Tilgængelige eksponeringsmodeller spænder fra meget enkle modeller, baseret på BSAF-værdier (akkumuleringsfaktorer fra sediment til biota), til specifikke fødekanæde-modeller. EU (2018) anbefaler, at undlade at bruge BSAF-værdier, da publicerede værdier er meget varierende, og da fx undersøgelser på ikke-forurenede områder viser en tendens til at give højere BSAF-værdier end undersøgelser på forurenede steder. Anvendelse af fødekanæde-modeller er heller ikke altid hensigtsmæssig, hvis det kræver stedspecifikke data eller regionsspecifikke MKK. Af denne grund er dette trin ikke relevant for stoffer, hvortil der efterspørges et europæisk MKK.

Der er ikke fundet toksicitetsdata for sedimentlevende organismer for de enkelte PCBer og heller ikke for PCB<sub>7</sub> som sådan.

De her foreslæde SKK-værdier vil derfor blive sammenlignet med de SKK-værdier, der afledes ud fra kvalitetskriterierne for biota (se afsnit 6.6).

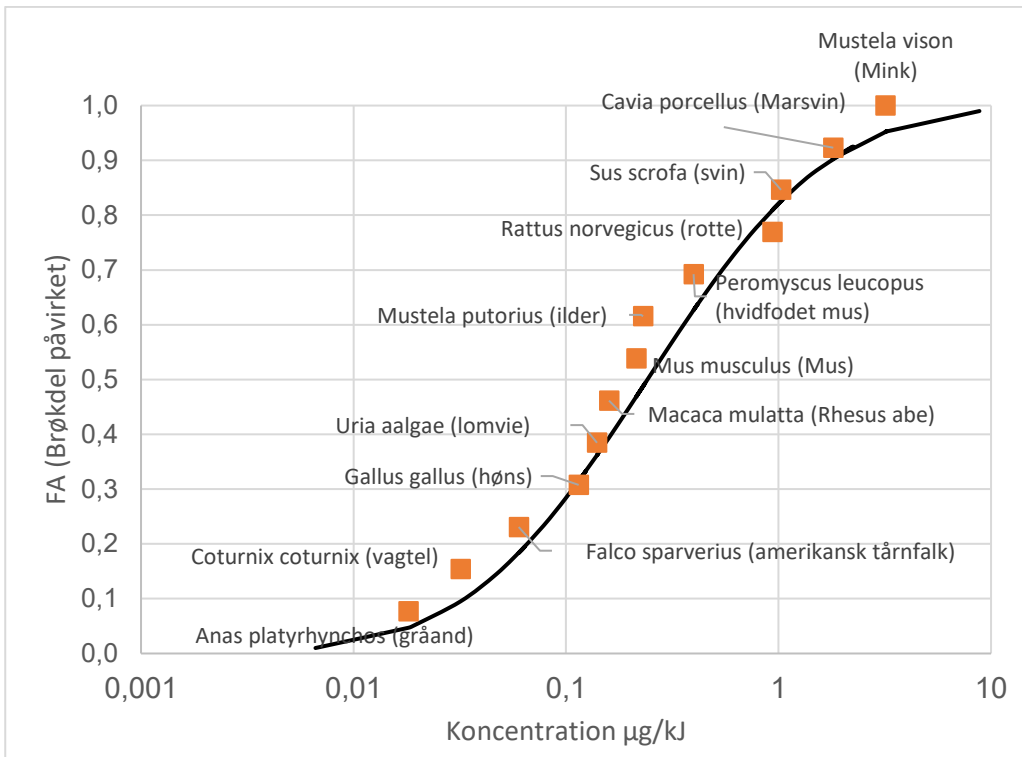
### 6.3 Kvalitetskriterium for biota, sekundær forgiftning (BKK<sub>sek.forgiftn.</sub>)

BCF-værdier for PCBerne er væsentligt over 100 (se tabel 3.2) ligesom log K<sub>ow</sub> for PCBerne er væsentligt højere end 3 (5,7-7,4), og det er derfor relevant at beregne et kvalitetskriterium for biota, BKK<sub>sek.forgiftn.</sub> jft. TGD (EU, 2018).

Da PCB118 er dækket af WHO's og EU's kvalitetskrav er der ikke udledt en værdi for denne kongener.

#### 6.3.1 Ferskvand

Der er samlet fundet data på 13 arter af fugle (5) og pattedyr (8), og derfor vurderes det passede at udføre en SSD. De fundne EC<sub>10</sub>/NOEC-værdier er angivet i mg/kg og hermed følges metode B jf. TGD'en (s. 86-87 i EU, 2018), hvor værdierne normaliseres i forhold til varigheden af testen ved brug af usikkerhedsfaktorerne (UF) angivet i tabel 9 i EU (2018), samt i forhold til energiindhold i føden ved brug af energiindhold og vandindholdet i tabel 8 i EU (2018). Resultatet af disse normaliseringer fremgår af tabel 4.2 under kollonen "Omregnet konc. (µg/kJ)" og det er disse normaliserede værdier, som indgår i SSD-analysen. SSD'en ses i figur 6.2.



Figur 6.2. SSD-fordeling for målte effektkoncentrationer i pattedyr og fugle for PCB<sub>6</sub>

HC<sub>5</sub> beregnes til 0,018 µg/kJ. Det nedre og øvre 90% konfidensinterval ligger på hhv. 0,0039 og 0,67 mg/kJ. Ved division med en UF på 5 (tabel 10 i EU, 2018), findes PNEC (predicted no effect concentration) for PCB<sub>6</sub> til 0,0036 µg/kJ.

PNEC normaliseres i forhold til det kritiske fødeemne, som her er fisk, da PCB biomagnificerer. Fisk har et energiindhold på 21.000 kJ/kg tørvægt, et tørstofindhold på 26% og et lipidindhold på 5% (tabel 7 i EU, 2018). Herved beregnes BKK<sub>sek.forgift., ferskvand</sub> for PCB<sub>6</sub> til:

$$\text{BKK}_{\text{sek.forgift., ferskvand}} = 0,0036 \mu\text{g}/\text{kj} \times (21000 \text{ kJ}/\text{kg tørvægt} \times 0,26) = 19,7 \mu\text{g}/\text{kg fisk vådvægt}$$

$$\text{BKK}_{\text{sek.forgift., ferskvand}} = 19,7 \mu\text{g}/\text{kg fisk vådvægt} / 0,05 = 394 \mu\text{g}/\text{kg lipid}$$

### 6.3.2 Saltvand

En udledning af BKK for saltvand er relevant, da PCB biomagnificerer i den marine fødekæde (afsnit 3.3). Ved udledning af BKK for saltvand skal der jf. TGD (EU, 2018) tilføjes en ekstra usikkerhedsfaktor grundet bioakkumuleringen i fødekæden (fisk → pattedyr).

Jf. tabel 3.4 er BMF-værdier målt for sæler på hhv. 182 (hanner) og 68 (hunner) kg vådvægt/kg vådvægt for summen af PCB. For PCB153 er BMF-værdier målt til hhv. 255 (hanner) og 76 (hunner) kg vådvægt/kg vådvægt. Der er, som tidligere omtalt, en variation på bioakkumuleringen af de enkelte PCBer. Da det er konstateret, at PCB153 er den PCB, der er til stede i de højeste koncentrationer både i sediment og i biota, tages der her udgangspunkt i dette stofs egenskaber. Det er valgt at anvende et gennemsnit af BMF-værdierne for hanner og hunner, dvs. en BMF-værdier på 166 kg vådvægt/kg vådvægt anvendes.

Udledning af BKK for saltvand beregnes for havpattedyr på baggrund af den energinormaliserede PNEC, som er 0,0036 µg/kJ. TGD'en angiver ligeledes et standard energiindhold for havpattedyr til 23.000 kJ/kg tørvægt og et tørstofindhold på 32%, samt et lipidindhold på 10% (tabel 7 i EU, 2018). Det bemærkes, at lipidindholdet ikke er i overensstemmelse med det oplyste lipidindhold i sæler i tabel 3.4 – ligesom energiindholdet (23.000 kJ/kg tørvægt) sandsynligvis er mindre end energiindholdet i sæler. Deraf fås  $BKK_{havpattedyr}$  til:

$$BKK_{havpatedyr} = 0,0036 \text{ } \mu\text{g}/\text{kJ} \times (23.000 \text{ kJ/kg tørvægt} \times 0,32) = 0,026 \text{ mg/kg havpatedyr vådvægt}$$

$$BKK_{havpatedyr} = 0,026 \text{ mg/kg havpatedyr vådvægt} / 0,10 = 0,26 \text{ mg/kg lipid}$$

Jf. TGD'en (EU, 2018) er havpatedyr uegnet i overvågningen og derfor tilbageregnes  $BKK_{havpatedyr}$  til en værdi for fisk, som anvendes som kriterier for saltvand,  $BKK_{sek.forgiftn., saltvand}$  for PCB<sub>6</sub>. Tilbageregningen sker ved at dividere med BMF-værdien på 166 kg vådvægt/kg vådvægt for havpatedyr:

$$BKK_{sek.forgiftn., saltvand} = 0,026 \text{ mg/kg havpatedyr vådvægt} / 166 \text{ kg vådvægt/kg vådvægt} = 0,00016 \text{ mg/kg fisk vådvægt} = \mathbf{0,16 \mu\text{g}/\text{kg fisk vådvægt}}$$

$$BKK_{sek.forgiftn., saltvand} = 0,16 \text{ } \mu\text{g}/\text{kg fisk vådvægt} / 0,05 = \mathbf{3,2 \mu\text{g}/\text{kg lipid}}$$

Det bemærkes til sammenligning, at for biota har Sverige foreslået et kriterie på 125 µg/kg vådvægt for ferskvand og 75 µg/kg vådvægt for saltvand, begge for PCB<sub>6</sub>, samt at Norge har fastlagt et kriterie for PCB<sub>7</sub> på 0,6 µg/kg vådvægt (Jensen et al., 2019).

#### 6.4 Kvalitetskriterium for human konsum af vandlevende organismer (HKK)

For PCB<sub>6</sub> har EU, som tidligere omtalt, formuleret en generel grænseværdi i fisk og skaldyr på 75 µg/kg vådvægt – hvilket svarer til 1,5 mg/kg lipid. For fiskeolier er der dog formuleret en generel grænseværdi på 200 µg/kg lipid, hvilket forslås anvendt:

$$\begin{aligned} \text{HKK} &= \mathbf{75 \mu\text{g}/\text{kg fisk vådvægt}}^7 \\ &= \mathbf{200 \mu\text{g}/\text{kg lipid}} \end{aligned}$$

Da PCB118 er dækket af WHO's og EU's kvalitetskrav er der ikke udledt en HKK-værdi for denne kongener.

---

<sup>7</sup> Den foreslæde HKK er væsentligt højere, end den værdi, der kan beregnes ud fra et forslået Tolerabelt Dagligt Indtag (TDI) for NDL-PCB på 10 ng/kg lgv/dag (se afsnit 4.3).

Baseret på denne TDI samt antagelsen af, at 20% af TDI stammer fra fisk og at standardfødeindtag er 0,00163 kg fisk vådvægt/kg lgv/dag (side 91 i EU, 2018), fås følgende værdier for HKK:

$$HKK = 10 \text{ ng/kg lgv/dag} \times 0,2 / 0,00163 \text{ kg fisk vådvægt/kg lgv/dag} = 1,22 \text{ } \mu\text{g}/\text{kg fisk vådvægt}$$

$$HKK = 1,22 / 0,05 = 24,5 \text{ } \mu\text{g}/\text{kg lipid}$$

## 6.5 Vandkvalitetskriterium baseret på BKK og HKK

Jævnfør TGD (EU, 2018) skal der laves en tilbageregning fra biotakvalitetskriterierne (BKK<sub>sek.forgiftn.</sub> og HKK) til en vandkoncentration, for at se om vandkvalitetskriteriet fastsat for direkte effekter, også beskytter for sekundær forgiftning gennem fødekæden. For PCBerne er der ikke fastsat et EU vandkvalitetskrav, og det er heller ikke udledt i dette datablad. PCBer er meget hydrofobe og akkumuleres i organisk materiale og vil derved ikke være detekterbart i vandfasen, hvorfor det ikke giver mening at fastsætte vandkvalitetskriterier for PCBer.

I nuværende datablad fortages tilbegeringen som led i bestemmelse af sedimentkvalitetskriterier basseret på biota (afsnit 6.6) via Equilibrium partitioning (EqP) metoden. Tilbageringen fra biota til en vandkoncentration foretages ved at dividere med BAF-værdien for hhv. det kritiske fødeemne (her fisk) for sekundær forgiftning og fisk for human konsum. Der tages her, som tidligere, udgangspunkt i BAF-værdien for PCB153 for laksefisk, nemlig 8.125.000 l/kg (tabel 3.3). Heraf fås følgende værdier:

$$BKK_{ferskvand} = 19,7 \text{ } \mu\text{g/kg fisk vådvægt} / 8.125.000 \text{ l/kg} = 2,4 \times 10^{-6} \text{ } \mu\text{g/l}$$

$$BKK_{saltvand} = 0,16 \text{ } \mu\text{g/kg fisk vådvægt} / 8.125.000 \text{ l/kg} = 2,0 \times 10^{-8} \text{ } \mu\text{g/l}$$

$$HKK_{vand} = 75 \text{ } \mu\text{g/kg fisk vådvægt} / 8.125.000 \text{ l/kg} = 9,2 \times 10^{-6} \text{ } \mu\text{g/l}$$

Et formuleret vandkvalitetskriterie baseret på de laveste biotakvalitetskriterier ville således være:

$$BKK_{ferskvand}: 2,4 \times 10^{-6} \text{ } \mu\text{g/l}$$

$$BKK_{saltvand}: 2,0 \times 10^{-8} \text{ } \mu\text{g/l}$$

## 6.6 Sedimentkvalitetskriterie baseret på BKK

Som beskrevet tidligere, bør der foretages en tilbageregning fra biota til sediment. Da PCBerne vil findes fordelt i både sediment og biota (se figur 3.1 og figur 3.2) bør der foretages en vægtning i forhold til indholdet af de enkelte kongenere. Dette er meget omstændeligt og vil være knyttet til de enkelte geografiske regioner, da koncentrationsfordelingen netop ikke er den samme i de enkelte geografiske regioner. Da det er konstateret, at PCB153 er den PCB, der er til stede i de højeste koncentrationer både i sediment og i biota, er det valgt at tage udgangspunkt i dette stofs egenskaber ved tilbageregningen. Videre, bør der grundet forskelle i fødekæderne skelnes mellem ferskvand og saltvand.

### 6.6.1 EqP-metoden

I afsnit 6.5 blev forslag til et vandkvalitetskriterie på basis af BKK<sub>sek. forgiftn.</sub> for ferskvand og saltvand beregnet til henholdsvis  $2,4 \times 10^{-6}$  og  $2,0 \times 10^{-8} \text{ } \mu\text{g/l}$ . Tilbagering fra en koncentration af PCB i biota til sediment ved EqP beregnes således:

$$SKK_{sek. forgiftn., EqP, ferskvand/saltvand} = FOC \times K_{OC} \times BKK_{ferskvand/saltvand}$$

Hvor FOC er fraktionen af organisk karbon sat til 0,05 kg/kg (EU standard sediment på 5% OC) og K<sub>OC</sub> er fordelingskoefficienten mellem sediment og vand normaliseret til organisk karbon, som for

PCB153 er oprundet til 417.000 l/kg (se tabel 2.1). Dertil ganges med en faktor 2,6 for at omregne fra vådvægt til tørvægt.

$$\begin{aligned}\text{SKK}_{\text{sek. giftn., EpP, ferskvand}} &= 0,05 \text{ kg/kg} \times 417.000 \text{ l/kg} \times 2,4 \times 10^{-6} \mu\text{g/l} = 0,05 \mu\text{g/kg} \text{ vådvægt} \\ &= 0,05 \mu\text{g/kg} \text{ vådvægt} \times 2,6 = \mathbf{0,13 \mu\text{g/kg} \text{ tørvægt (5% OC)}} \\ &= 0,13 \mu\text{g/kg} \text{ tørvægt} / 0,05 = \mathbf{2,6 \mu\text{g/kg} \text{ tørvægt x foc}}\end{aligned}$$

$$\begin{aligned}\text{SKK}_{\text{sek. giftn., EpP, saltvand}} &= 0,05 \text{ kg/kg} \times 417.000 \text{ l/kg} \times 2,0 \times 10^{-8} \mu\text{g/l} = 0,00042 \mu\text{g/kg} \text{ vådvægt} \\ &= 0,00042 \mu\text{g/kg} \text{ vådvægt} \times 2,6 = \mathbf{0,0011 \mu\text{g/kg} \text{ tørvægt (5% OC)}} \\ &= 0,0011 \mu\text{g/kg} \text{ tørvægt} / 0,05 = \mathbf{0,022 \mu\text{g/kg} \text{ tørvægt x foc}}\end{aligned}$$

$\text{SKK}_{\text{sek. giftn., EpP, ferskvand}}$  og  $\text{SKK}_{\text{sek. giftn., EpP, saltvand}}$  er begge flere faktorer under det SKK, der blev udledt fra toksicitetsdata for sedimentlevende organismer på 220  $\mu\text{g/kg}$  tørvægt (5% OC).

### 6.6.2 BSAF-metoden

Til sammenligning med de overstående værdier fra EqP har Babut (2018) foretaget en simpel tilbageregning fra biota til sediment basseret på BSAF (akkumuleringsfaktor for sediment til biota). Dog er denne metode ikke anbefalet af TGD (EU, 2018) grundet udsikkerheder ved BSAF-værdierne (afsnit 6.2). Babut (2018) har tilbageregnet fra biota til sediment ved anvendelse af følgende formel:

$$\text{SKK}_{\text{BSAF}} = \text{QS}_{\text{inv}} / \text{BSAF}$$

Hvor  $\text{QS}_{\text{inv}}$  er koncentrationen i invertebrater omsat fra  $\text{BKK}_{\text{sek. giftn.}}$ , og BSAF er biota-sediment akkumulerings faktoren.  $\text{QS}_{\text{inv}}$  beregnes ved anvendelse af en trofiske magnifikations faktor (TMF) og en værdi for the trofiske niveau, som her betegnes  $y$ .  $y$  er i dette tilfælde 4, da det trofiske niveau, som anvendes, er fisk (EU, 2018).

$$\text{QS}_{\text{inv}} = \text{BKK}_{\text{sek. giftn.}} / \text{TMF}^{y-2}$$

Babut (2018) har foretaget beregninger for bl.a. PCB, hvortil en BSAF på 6,0 og en TMF på 4,3 er anvendt. Disse værdier anvendes ligeledes i nuværende datablad, dog uden at der er foretaget kvalitetssikring heraf. Dertil anvendes  $\text{BKK}_{\text{sek. giftn.}}$  på 19,7 og 0,16  $\mu\text{g/kg}$  vådvægt for henholdsvis fersk- og saltvand beregnet i afsnit 6.3:

$$\text{SKK}_{\text{BSAF, ferskvand}} = (\text{BKK}_{\text{sek. giftn., ferskvand}} / \text{TMF}^{y-2}) / \text{BSAF} = (19,7 \mu\text{g/kg} \text{ vådvægt} / 4,3^{4-2}) / 6 = 0,18 \mu\text{g/kg} \text{ tørvægt}$$

$$\text{SKK}_{\text{BSAF, saltvand}} = (\text{BKK}_{\text{sek. giftn., saltvand}} / \text{TMF}^{y-2}) / \text{BSAF} = (0,16 \mu\text{g/kg} \text{ vådvægt} / 4,3^{4-2}) / 6 = 0,0014 \mu\text{g/kg} \text{ tørvægt}$$

Babut (2018) beskriver ikke, hvordan overstående metode tager højde for indeholdet af organisk karbon, hvortil det er usikkert at sammenligne med SKK beregnet ud fra data på sedimentlevende organismer og SKK beregnet ved tilbageregning fra biota via EqP.

### 6.6.3 Konklusion på SKK

Tabel 6.3 er en opsummering af de beregnede SKK-værdier. SKK<sub>SSD</sub> angiver de værdier beregnet via data på sedimentlevende organsimer via SSD (afsnit 6.2, omregnet fra mg/kg til µg/kg i tabel 6.3), SKK<sub>sek. forgnfn.</sub>, EqP betegner de værdier beregnet via tilbageregning fra en biotakoncentration til en sedimentkoncentration (afsnit 6.6.1) og SKK<sub>BSAF</sub> betegner de beregnede værdier baseret på BSAF (afsnit 6.6.2).

Tabel 6.3. Beregnede SKK-værdier.

|           | <b>SKK<sub>SSD</sub></b>  | <b>SKK<sub>biota, EqP</sub></b>                                       | <b>SKK<sub>BSAF</sub></b> |
|-----------|---|---|---------------------------|
| Ferskvand | 220 mg/kg tørvægt (5% OC)<br>4400 mg/kg tørvægt x f <sub>OC</sub> | 0,13 µg/kg tørvægt (5% OC)<br>2,6 µg/kg tørvægt x f <sub>OC</sub>     | 0,18 µg/kg tørvægt        |
| Saltvand  | 220 mg/kg tørvægt (5% OC)<br>4400 mg/kg tørvægt x f <sub>OC</sub> | 0,0011 µg/kg tørvægt (5% OC)<br>0,022 µg/kg tørvægt x f <sub>OC</sub> | 0,0014 µg/kg tørvægt      |

Da PCBer er stærkt hydrofobe og det ikke forventes at findes i vandfasen, vil den primære eksponering være gennem sediment og biota. Derved bør der laves en tilbageregning fra biota til sediment, for at se om sedimentkriterierne sat ud fra direkte effekter på sedimentlevende organsimer, også sikrer beskyttelse af biota. Til dette er der blevet anvendt to metoder; EqP og BSAF. Ved begge metoder fås værdier for SKK, som ligger flere faktorer under SKK<sub>SSD</sub>, hvortil det skønnes at SKK<sub>SSD</sub> ikke vil sikre beskyttelse af biota.

Ved anvendelse af EqP-metoden fås forholdsvis lave værdier, som generelt sammenlignet med overvågningsdata ligger noget under de laveste målte værdier. TGD (EU, 2018) anbefaler at lave en tilbageregning fra biota til sediment (EU, 2018 afsnit 5.2.3 s. 109), men den er ikke tydelig på, hvordan denne tilbageregning egentlig bør foretages. Der er i nuværende datablad forsøgt at lave en sådan tilbageregning, men denne er ikke uden usikkerheder.

Metoden med anvendelse af BSAF er ikke anbefalet af TGD (EU, 2018), og er grundet usikkerheder ved BSAF-værdierne, samt manglende information om organisk karbon indhold heller ikke anbefalet at anvende som endelig kriterie for sediment i nuværende datablad.

På baggrund af overstående konkluderes det at der på nuværende tidspunkt ikke kan fastsættes en endelig værdi for SKK, som tager højde for PCBs stærkt hydrofobe egenskaber grundet væsentlige usikkerheder ved de anvende metoder.

# 7 Konklusion

Følgende forslag til miljøkvalitetskriterier er fundet:

Sedimentkvalitetskriterium:

|                                 |               |
|---------------------------------|---------------|
| $\text{SKK}_{\text{ferskvand}}$ | = Ikke muligt |
| $\text{SKK}_{\text{saltvand}}$  | = Ikke muligt |

Kvalitetskriterium for biota:

|  |  |
|--|--|
| $\text{BKK}_{\text{sek.forgiftn., ferskvand}}$ | = 19,7 $\mu\text{g}/\text{kg}$ fisk vådvægt<br>= 394 $\mu\text{g}/\text{kg}$ lipid |
| $\text{BKK}_{\text{sek.forgiftn., saltvand}}$  | = 0,16 $\mu\text{g}/\text{kg}$ fisk vådvægt<br>= 3,2 $\mu\text{g}/\text{kg}$ lipid |

Sundhedskvalitetskriterium:

|              |  |
|--------------|--|
| $\text{HKK}$ | = 75 $\mu\text{g}/\text{kg}$ fisk vådvægt<br>= 200 $\mu\text{g}/\text{kg}$ lipid |
|--------------|--|

Disse forslag dækker ikke PCB118, som allerede er omfattet af EU kvalitetskrav (EU, 2012) for biota (BKK) og human konsum (HKK):

$$\text{BKK}_{\Sigma \text{PCDD+PCDF+PCB-DL}} = 0,0065 \mu\text{g}/\text{kg} \text{ TEQ}$$
$$\text{HKK}_{\Sigma \text{PCDD+PCDF+PCB-DL}} = 6,5 \text{ ng}/\text{kg} \text{ fisk vådvægt}$$

Da disse kvalitetskrav fra EU (2012) er formuleret som en sum af flere stoffer, et der ikke umiddelbart muligt at omregne disse kvalitetskrav til et tilsvarende sedimentkvalitetskriterie for PCB118. Det bør også noteres at der forelægger et nyt udkast fra februar 2023 på revurderede EU kvalitetskrav, som skal til forhandling.

## 8 Referencer

Ahmed, T., Arscott, G.H. & Tinsley, J. (1978). Effect of Chlorinated Hydrocarbons on Reproductive Performance of Adult White Leghorn Male Chickens. *Poultry Sci.* 57: 1594-1598.

Arblaster, J., Ikonomou, M.G., & Gobas, F.A. (2015). Toward Ecosystem-Based Sediment Quality Guidelines for Polychlorinated Biphenyls (PCBs). *Integrated Environmental Assessment and Management* 11 (4), 689-700.

Arnold, D.L., Mes, J., Bryce, F., Karpinski, K., Bickis, M.G., Zawidzka, Z.Z. & Stapley, R. (1990). A Pilot Study on the Effects of Aroclor 1254 ingestion by Rhesus and Cynomolgus Monkeys as a Model for Human ingestion of PCBs. *Fd. Chem. Toxic.* 28 (12):847-857.

ATSDR (2000). TOXICOLOGICAL PROFILE FOR POLYCHLORINATED BIPHENYLS (PCBs). U.S. DEPARTMENT OF HEALTH AND HUMAN SERVICES Public Health Service. Agency for Toxic Substances and Disease Registry. November 2000.

Aulerich, R.J. & Ringer, R.K. (1977). Current Status of PCB Toxicity to Mink, and Effect on Their Reproduction. *Arch. Environm. Contam. Toxicol.* 6: 279-292.

Bäcklin, B.-M., Persson, E., Jones, C.J.P. & Dantzer, V. (1998). Polychlorinated biphenyl (PCB) exposure produces placental vascular and trophoblastic lesions in the mink (*Mustela vison*): a light and electron microscopic study. *APMIS* 106: 785-799.

Babut, M. (2018). Essai de transposition des NQE<sub>biote</sub> en concentrations seuil pour les sédiments. Rapport final. Programme Irstea AFB 2016-2018 38p.

Barrett, R.T., Anker-Nilssen, T., Gabrielsen, G.W. & Chapdelaine, G. (2002). Food consumption by seabirds in Norwegian waters. *ICES Journal of Marine Science*, 59: 43–57.

Barsotti, D.A., Marlar, R.J. & Allen, J.R. (1976). Reproductive Dysfunction in Rhesus Monkeys Exposed to Low Levels of Polychlorinated Biphenyls (Aroclor 1248). *Fd Cosmet. Toxicol.* 14: 99-103.

Biessmann, A. (1982). Effects of PCBs on gonads, sexhormone balance and reproduction processes of Japanese Quail *Coturnix coturnix japonica* after ingestion during sexual maturation. *Environ. Pollut. Ser. A.* 27: 15-30.

Bird, D.M., Tucker, P.H., Fox, G.H. & Laguë, P.C. (1983). Synergistic Effects of Aroclor 1254 and Mirex on the Semen Characteristics of American Kestrels. *Arch. Environ. Contam. Toxicol-* 12: 633-640.

Bird, F.H., Chawan, C.B. & Gerry, R.W. (1978). Response of Broiler Chickens to Low Level Intake of Polychlorinated Biohenyl Isomers. *Poultry Sci.* 57: 538-541.

Bleavins, M.R., Aulerich, R.J. & Ringer, R.K. (1980). Polychlorinated Biphenyls (Aroclors 1016 and 1242): Effects on Survival and Reproduction in Mink and Ferrets. *Arch. Environm. Contam. Toxicol.* 9: 627-635.

Boese, B.L., Winsor, M., Lee, H. II., Echols, S., Pelletier, J. & Randall, R. (1995). PCB congeners and hexachlorobenzene biota sediment accumulation factors for *Macoma nasuta* exposed to sediments with different total organic carbon contents. *Environmental Toxicology and Chemistry*, Vol.14 pp. 303–310. Refereret i

Boix, J., Cauli, O. & Felipo, V. (2010). Developmental exposure to polychlorinated biphenyls 52, 138 or 180 affects differentially learning or motor coordination in adult rats. Mechanisms involved. *Neuroscience* 167(4), 994-1003.

Borgå, K., Gabrielsen, G.W. & Skaare, J.U. (2001). Biomagnification of organochlorines along a Barents Sea food chain. *Environmental Pollution* 113 (2001), 187-109.

Borgå, K., Wolkers, H., Skaare, J.U., Hop, H., Muird, D.C.G. & Gabrielsen, G.W. (2005). Bioaccumulation of PCBs in Arctic seabirds: influence of dietary exposure and congener biotransformation. *Environmental Pollution* 134 (2005) 397–409.

Brieger, G., Hunter, R.D. (1993). Uptake and depuration of PCB 77, PCB 169, and hexachlorobenzene by zebra mussels (*Dreissena polymorpha*). *Ecotoxicology and Environmental Safety*, Vol. 26 pp.153–165.

Brown, J. F. Jr., Mayes, B. A., Silkworth, J. B., & Hamilton, S. B. (2007). Polychlorinated Biphenyls–Modulated Tumorigenesis in Sprague–Dawley Rats: Correlation with Mixed Function Oxidase Activities and Superoxide ( $O_2^{\bullet-}$ ) Formation Potentials and Implied Mode of Action. *Toxicological Sciences* 98(2), 375–394.

Brunström, B., Lund, B.-O., Bergman, A., Asplund, L., Athanassiadis, I., Athanasiadou, M., Jensen, S. & Örberg, J. (2001). Reproductive Toxicity in Mink (*Mustela vison*) Chronically Exposed to Environmentally Relevant Polychlorinated Biphenyl Concentrations. *Environmental Toxicology and Chemistry*, 20 (10): 2318–2327.

Brunström, B., Kihlström, I. & Lundkvist, U. (1982). Studies of Foetal Death and Foetal Weight in Guinea Pigs Fed Polychlorinated Biphenyls (PCB). *Acta pharmacol. Et toxicol.* 50: 100-103.

Call, D.J. & Harrell, B.E. (1974). Effects of Dieldrin and PCBs Upon the Production and Morphology of Japanese Quail Eggs. *Bulletin of Environmental Contamination & Toxicology* 11 (1): 70-77.

Carter, J.W. & Mercer, L.P. (1983). Pair-feeding Study of PCB (Aroclor 1254) Toxicity in Rats. *Bull. Environ. Contam. Toxicol.* 31: 686-691.

Cecil, H.C., Bitman, J., Lillie, R.J., Fries, G.F. & Verrett, J. (1974). Embryotoxic and teratogenic effects in unhatched fertile eggs from hens fed polychlorinated biphenyls (PCBs). Bull. Environ. Contam. Toxicol. 11: 489-495.

Chen, S.-W., Dziuk, P.J. & Francis, B.M. (1994). Effect of Four Environmental Toxicants on Plasma Ca and Estradiol 17 $\beta$  and Hepatic P450 in Laying Hens. Environmental Toxicology and Chemistry 13(5): 789-796.

Chu, I., Villeneuve, D.C., Yagminas, A., Lecavalier, P., Poon, R., Håkansson, H., Ahlborg, U.G., Valli, V.E., Kennedy, S.W., Bergman, Å., Seegal, R.F. & Feeley, M. (1996a). Toxicity of 2,4,4'-trichlorobiphenyl in rats following 90-day dietary exposure. J Toxicol Environ Health 49, 301-318.

Clark, D.R. Jr. & Stafford, C.J. (1981). Effects of DDE and PCB (Aroclor 1260) on Experimentally Poisoned Female Little Brown Bats (*Myotis lucifugus*): Lethal Brain Concentrations. Journal of Toxicology and Environmental Health 7: 925-934.

Cullon, D.L., Yunker, M.B., Christensen, J.R., Macdonald, R.W., Whiticar, M.J., Dangerfield, N.J. & Ross, P.S. (2012). Biomagnification Of Polychlorinated Biphenyls In A Harbor Seal (*Phoca Vitulina*) Food Web From The Strait Of Georgia, British Columbia, Canada. Environmental Toxicology and Chemistry, Vol. 31, No. 11, pp. 2445–2455, 2012.

DiPinto, L.M., Coull, B.C. & Chandler, G.T. (1993). Lethal and sublethal effects of the sediment-associated PCB Aroclor 1254 on a meiobenthic copepod. Environ Toxicol Chem 12:1909–1918.

Djordjevic, A.B., Antonijevic, E., Curcic, M., Milovanovic, V. & Antonijevic, B. (2020). Endocrine-disrupting mechanisms of polychlorinated biphenyls. Current Opinion in Toxicology 19: 42-49.

Donahue, D.A., Bowen, C.L., Povost, T.L. & Meserve, L.A. (2002). Effects of PCB on Reproductive Success in Sprague-Dawley Rats Exposed to Aroclor 1254 for One Year. Ohio J. Sci. 102 (5): 102-105.

Drouillard, K.G. & Norstrom, R. J. (2003). The Influence of Diet Properties and Feeding Rates on PCB Toxicokinetics in the Ring Dove. Arch. Environ. Contam. Toxicol. 44: 97–106.

EF (2006). EU-kommissionens forordning (EF) nr. 1881/2006 af 19. december 2006 om fastsættelse af grænseværdier for bestemte forurenede stoffer i fødevarer (<https://eur-lex.europa.eu/legal-content/DA/TXT/?uri=CELEX%3A32006R1881>)

EC (2019). Endocrine disruptors.

[https://ec.europa.eu/environment/chemicals/endocrine/strategy/substances\\_en.htm#priority\\_list](https://ec.europa.eu/environment/chemicals/endocrine/strategy/substances_en.htm#priority_list)

EpiSuite. Estimation Programs Interface Suite™ for Microsoft® Windows, v 4.1. United States Environmental Protection Agency, Washington, DC, USA.

EU (2000). Europa-Parlamentets og Rådets Direktiv 2000/60/EF om fastsættelse af en ramme for fællesskabets vandpolitiske foranstaltninger af 23. oktober 2000.

EU (2008). ECHA: Guidance on information requirements and chemical safety assessment Chapter R.10: Characterisation of dose [concentration]-response for environment ([https://echa.europa.eu/documents/10162/13632/information\\_requirements\\_r10\\_en.pdf/bb902be7-a503-4ab7-9036-d866b8ddce69](https://echa.europa.eu/documents/10162/13632/information_requirements_r10_en.pdf/bb902be7-a503-4ab7-9036-d866b8ddce69))

EU (2012). Forordning nr. 1259/2011 af 2. december 2011, afsnit 5.3 i bilaget til forordning om ændring af Kommissionens forordning (EF) nr. 1881/2006 for så vidt angår grænseværdier for dioxiner, dioxinlignende PCB'er og ikke-dioxinlignende PCB'er i fødevarer (EUT L 320 af 3.12.2011, s. 18).

EU (2018). Common Implementation Strategy for the Water Framework Directive (2000/60/EC). Final draft revised Guidance Document No. 27. Technical Guidance Document for Deriving Environmental Quality Standards.

EU Working Group (2019). EQS dossier. Non Dioxin-Like PolyChlorinated Biphenyls ([https://circabc.europa.eu/webdav/CircaBC/env/wfd/Library/working\\_groups/priority\\_substances/priority\\_substances\\_1/substance\\_dossiers/dossiers\\_2010-jan/PCBs%20NDL%20EQS%20draft%20dossier%202020110120.doc](https://circabc.europa.eu/webdav/CircaBC/env/wfd/Library/working_groups/priority_substances/priority_substances_1/substance_dossiers/dossiers_2010-jan/PCBs%20NDL%20EQS%20draft%20dossier%202020110120.doc)). Link kræver log-in til Circabc.

Fernie, K.J., Smits, J.E., Bortolotti, G.R. & Bird, D.M. (2001a). Reproduction Success of American Kestrels Exposed to Dietary Polychlorinated Biphenyls. Environmental Toxicology and Chemistry 20 (4): 776-781.

Fisher, S.A., Bortolotti, G.R., Fernie, K.J., Smits, J.E., Marchant, T.A., Drouillard, K.G. & Bird, D.M. (2001). Courtship Behavior of Captive American Kestrels (*Falco sparverius*) Exposed to Polychlorinated Biphenyls. Arch. Environ. Contam. Toxicol. 41, 215–220.

Holleman, K.A., Barnett, B.D. & Wicker, G.W. (1976). Response of Chicks and Turkey Poulets to Aroclor 1242. Poultry Science 55: 2354-2356.

Garthoff, L.H., Friedman, L., Farber, T.M., Locke, K.K., Sobotka, T.J., Green, S., Hurley, N.E., Peters, E.L., Story, G.E., Moreland, F.M., Graham, C.H., Keys, J.E., Taylor, M.J., Scalera, J.V., Rothlein, J.E., Marks, E.M., Cerra, F.E., Rodi, S.B. & Sporn, E. M. (1977). Biochemical and Cytogenetic Effects in Rats caused by Short-Term ingestion of Aroclor 1254 or Firemaster BP6. Journal of Toxicology and Environmental Health 3: 769-796.

Gray, L. Earl, Ostby, J., Marshall, R. & Andrews, J. (1993). Reproductive and Thyroid Effects of Low-Level Polychlorinated Biphenyl (Aroclor 1254) Exposure. Fundamental and Applied Toxicology 20:288-294.

Han, X.-Y., Wang, Z.-Y., Zhai, Z.-C. & Wang, L.-S. (2005). Estimation of n-octanol/water Partition Coefficients (K<sub>ow</sub>) of all PCB Congeners by Ab initio and Cl Substitution Position Method. QSAR Comb. Sci. 25 (4): 333-341.

Haseltine, S.D. & Prouty, R.M. (1980). Aroclor 1242 and Reproductive Success of Adult Mallards (*Anas Platyrhynchos*). Environmental Research 23: 29-34.

Henny, C.J., Kaiser, J.L., Grove, R.A., Bentley, R.V. & Elliott, J.E. (2003). Biomagnification Factors (Fish To Osprey Eggs From Willamette River, Oregon, U.S.A.) For PCDDs, PCDFs, PCBs AND OC Pesticides. *Environmental Monitoring and Assessment* 84: 275–315, 2003.

Holleman, K.A., Barnett, B.D. & Wicker, G.W. (1976). Response of Chicks and Turkey Poult to Aroclor 1242. *Poultry Science* 55: 2354-2356.

IARC 107 (2016). IARC monographs on the evaluation of carcinogenic risksto humans, polychlorinated biphenyls and polybrominated biphenyls. Volume 107.

ICES (2016a). MIME regional assessment of status and trends in CB concentrations in sediment. [http://dome.ices.dk/osparmime2016/regional\\_assessment\\_sediment\\_chlorobiphenyls.html](http://dome.ices.dk/osparmime2016/regional_assessment_sediment_chlorobiphenyls.html)

ICES (2016b). MIME regional assessment of status and trends in CB concentrations in biota. [http://dome.ices.dk/osparmime2016/regional\\_assessment\\_biota\\_chlorobiphenyls.html](http://dome.ices.dk/osparmime2016/regional_assessment_biota_chlorobiphenyls.html)

Aldenberg, T. & Jaworska, J.S. (2000). Uncertainty of the Hazardous Concentration and Fraction Affected for Normal Species Sensitivity Distributions. *Ecotoxicology and Environmental Safty* 46, 1-18.

Jefferies, D.J. & Parslow, J.L.F. (1976). Thyroid Changes in PCB-dosed Guillemots and Their Indication of One of the Mechanisms of Action of These Materials. *Environ. Pollut.* 10: 293-311.

Jensen, J., Sanderson, H., Larsen, M.M., Johansson, L.S. & Kallestrup, H. (2019). Assessment of hazardous substances in Danish sediment and biota according to Norwegian, Swedish and Dutch quality, Technical Report from DCE – Danish Centre for Environment and Energy No. 146, 2019.

Jefferies, D.J. & Parslow, J.L.F. (1976). Thyroid Changes in PCB-dosed Guillemots and Their Indication of One of the Mechanisms of Action of These Materials. *Environ. Pollut.* 10: 293-311.

Khan, M.A., Lichtensteiger, C.A., Faroon, O., Mumtaz, M., Schaeffer, D.J. & Hansen, L.G. (2002). The hypothalamo-pituitary-thyroid (HPT) axis: a target of nonpersistent ortho-substituted PCB congeners. *Toxicol Sci* 65, 52-61.

Khan, M.A. & Hansen, L.G. (2003). ortho-Substituted polychlorinated bipheynl (PCB) congeners (95 or 101) decrease pituitary response to thyrotropin releasing hormone. *Toxicol Lett* 144, 173-182.

Klimisch, H., Andrae, M. & Tillmann, U. (1997). A systematic approach for evaluating the quality of experimental toxicological and ecotoxicological data. *Regul Toxicol Pharm*, 25, 1-5.

Landrum, P.F., Faust, W.R. & Eadie, B.J. (1989). Bioavailability and toxicity of a mixture of sediment-associated chlorinated hydrocarbons to the amphipod *Pontoporeia hoyi*. In Cowgill UM, Williams LR, eds, *Aquatic Toxicology and Hazard Assessment*, Vol 12. STP 1027. American Society for Testing and Materials, Philadelphia, PA, pp 315–329.

Landrum, P.F., Leppanen, M., Robinson, S.D., Gossiaux, D.C., Burton, G.A., Greenberg, M., Kukkonen, J.V.K., Eadie, B.J. & Lansing, M.B. (2004). Comparing behavioral and chronic

endpoints to evaluate the response of *Lumbriculus variegatus* to 3,4,3,4-tetrachlorobiphenyl sediment exposures. Environ Toxicol Chem 23:187–194.

Lillie, R.J., Cecil, H.C., Bitman, J. & Fries, G.F. (1975). Toxicity of Certain Polychlorinated and Polybrominated Biphenyls on Reproductive Efficiency of Caged Chickens. Poultry Science 54: 1550-1555.

Linder, R.E., Gaines, T.B. & Kimbrough, R.D. (1974). The Effect of Polychlorinated Biphenyls on Rat Reproduction. Fd Cosmet. Toxicol. 12: 63-77.

Lundkvist, U. (1990). Clinical and reproductive effects of Clophen A50 (PCB) administered during gestation on pregnant guinea pigs and their offspring. Toxicology 61: 249-257.

McCoy, G., Finlay, M.F., Rhone, A., James, K. & Cobb, G.P. (1995). Chronic Polychlorinated Biphenyls Exposure on Three Generations of Oldfield Mice (*Peromyscus polionotus*): Effects on Reproduction, Growth, and Body Residues. Arch. Environ. Contam. Toxicol. 28:431-435.

McLeese, D.W. & Metcalfe, C.D. (1980). Toxicities of eight organochlorine compounds in sediments and seawater to *Crangon septemspinosa*. Bull Environ Contam Toxicol 25:921–928.

Miljø- og Fødevareministeriet (2017). Bekendtgørelse om fastlæggelse af miljømål for vandløb, sører, overgangsvande, kystvande og grundvand. BEK nr 1625 af 19/12/2017.

Miljøstyrelsen (2004). Principper for fastsættelse af vandkvalitetskriterier for stoffer i overfladevand. Vejledning fra Miljøstyrelsen nr. 4, 2004.

Miljøstyrelsen (2014). Evaluation of health hazards by exposure to Polychlorinated biphenyls (PCB) and proposal of a health-based quality criterion for soil. Environmental Project No. 1485, 2014.

Miljøstyrelsen (2012). Fastsættelse af miljøkriterier for jordmiljøet, Polyklorerede biphenyler.

Miniats, O.P., Platonow, N. S. & Geissinger, H. D. (1977). Experimental Polychlorinated Biphenyl Toxicosis in Germfree Pigs. Can. J. comp. Med. 42: 192-199.

Murdoch, M.H., Chapman, P.M., Norman, D.M. & Quintino, V.M. (1997a). Spiking sediment with organochlorines for toxicity testing. Environ. Toxicol Chem 16:1504–1509.

Murdoch, M.H., Chapman, P.M., Johns, D.M. & Paines, M.D. (1997b). Chronic effects of organochlorine exposure in sediment to the marine polychaete *Neanthes arenaceodentata*. Environ Toxicol Chem 16:1494–1503.

OSPAR (1998). Report of the Third OSPAR Workshop on Ecotoxicological Assessment Criteria The Hague: 25-29 November 1996. ANNEX 20 : Subgroup report - Derivation of PCB EAC.

OSPAR (2008). OSPAR SIME 2008: WORKING GROUP ON CONCENTRATIONS, TRENDS AND EFFECTS OF SUBSTANCES IN THE MARINE ENVIRONMENT (SIME). EDINBURGH (SCOTLAND): 11-13 MARCH 2008.

Peakall, D.B. & Peakall, M.L. (1973). Effect of Polychlorinated Biphenyl on the Reproduction of Artificially and Naturally Incubated Dove Eggs. *Journal of Applied Ecology* 10 (3): 863-868.

Platonow, N.S. & Karstad, L.H. (1973). Dietary Effects of Polychlorinated Biphenyls on Mink. *Can. J. comp. Med.* 37: 391-400.

Quinn, M.J. Jr., French, J.B. Jr., McNabb, F.M., & Ottinger, M.A. (2002). The Effects of Polychlorinated Biphenyls (Aroclor 1242) on Thyroxine, Estradiol, Molt, and Plumage Characteristics in the American Kestrel (*Falco sparverius*). *Environmental Toxicology and Chemistry* 21 (7): 1417–1422.

Roos, R., Andersson, P.L., Krister, K., Håkansson, H., Westerholm, E., Hamers, T., Hamscher, G., Heikkinen, P., Korkalainen, M., Leslie, H.A., Niittynen, M., Sankari, S., Schmitz, H.-J., van der Ven, L.T.M., Viluksela, M. & Schrenk, D. (2011). Hepatic effects of a highly purified 2,2',3,4,4',5,5'-heptachlorbiphenyl (PCB 180) in male and female rats. *Toxicology* 284, 42-53.

Sanders, O.T. & Kirkpatrick, R.L. (1977). Reproductive Characteristics and Corticoid Levels of Female White-Footed Mice Fed ad Libitum and Restricted Diets Containing a Polychlorinated Biphenyl. *Environmental Research* 13: 358-363.

Scott, M.L. (1977). Effect of PCBs, DDT, and mercury compounds in chickens and Japanese Quail. *Federation Proceedings* 36: 1888-1893.

Shiu, W.Y. & Mackay, D. (1986). A critical review of Aqueous Solubilities, Vapor Pressures, Henry's Law Constants, and Octanol-Water Partition Coefficients of the Polychlorinated Biphenyls. *J. Phys. Chem. Ref. Data* 15 (2): 911-929.

Sinkkonen, S. & Paasivirta, J. (2000). Degradation half-life times of PCDDs, PCDFs and PCBs for environmental fate modeling. *Chemosphere* Vol. 40 pp. 943-949.

Solly, S.R.B., Shanks, V., Steele, R.T. & Poole, W.S.H. (1976). Effects of polychlorinated biphenyls on poultry. *N.Z. Journal of Agricultural Research* 19: 225-229.

Spencer, F. (1982). An Assessment of the Reproductive Toxic Potential of Aroclor 1254 in Female Sprague-Dawley Rats. *Bull. Environm. Contam. Toxicol.* 28: 290-297.

Swartz, R.C., Kemp, P.F., Schults, D.W. & Lamberson, J.O. (1988). Effects of mixtures of sediment contaminants on the marine infaunal amphipod, *Rhepoxynius abronius*. *Environ Toxicol Chem* 7: 1013–1020.

Thomas, P.T. & Hinsdill, R.D. (1978). Effect of Polychlorinated Biphenyls on the Immune Responses of Rhesus Monkeys and Mice. *Toxicology and Applied Pharmacology* 44: 41-51.

Troisi, G.M., Barton, S.J., Liori, O. & Nyman, M. (2020). Polychlorinated Biphenyls (PCBs) and Sex Hormone Concentrations in Ringed and Grey Seals: A Possible Link to Endocrine Disruption? *Archives of Environmental Contamination and Toxicology* 78: 513-524.

- Turk, D.E. & Hietman, K.G. (1976). Ingested Polychlorinated Biphenyl (Aroclor 1242) and Growth, Calcium and Zinc Absorption, and Intestinal Ultrastructure in Chicks. *Poultry Science* 55: 672-678.
- Ward, J.M. (1985). Proliferative Lesions of the Glandular Stomach and Liver in F344 Rats Fed Diets Containing Aroclor 1254. *Environmental Health Perspectives* 60: 89-95.
- WHO (2003). Polychlorinated biphenyls: human health aspects. Concise international chemical assessment document 55.
- Xiao, W., Li, K., Wu, Q., Nishimura, N., Chang, X. & Zhou, Z. (2010). Influence of persistent thyroxine reduction on spermatogenesis in rats neonatally exposed to 2,2',4,4',5,5'-hexachlorobiphenyl. *Birth Defects Res B Dev Reprod Toxicol* 89(1), 18-25.

# Bilag A

## Toksicitet over for sedimentlevende organismer (EC<sub>50</sub>, NOEC, EC<sub>x</sub>, PNEC osv.).

### Ferskvandsorganismer

#### Kronisk toksicitet

| Art  | Fødegrundlag           | Forsøgsparametre | Kemikalie                               | Tid fra spikning til test (d) | Ekspone-ringstid (d) | Endpoint, Effekt           | Konc. (µg/kg) | Normaliseret effektkoncentration µg/g-OC<br>m: målt<br>n: nominel | Normaliseret effektkoncentration µg/kg (5% OC) | Reference | Klimisch score |
|--|------------------------|------------------|---|-------------------------------|----------------------|----------------------------|---------------|---|--|-----------|----------------|
| Musling (Bivalvia)<br><i>Dreissena polymorpha</i>        | <i>Filtrator</i>       |                  | 3,3',4,4' - Tetrachlorbiphenyl (PCB 77) | -                             | 14                   | NOEC, Overlevelse Ubundet  | 50.000        | 2.500.000   | Brieger & Hunter, 1993                         | 3         |                |
| Børsteorm (Oligochaeta)<br><i>Lumbriculus variegatus</i> | <i>Deposit feeding</i> |                  | 3,3',4,4' - Tetrachlorbiphenyl (PCB 77) | 60                            | 10                   | NOEC, Reproduktion Ubundet | 10.000        | 500.000   | Landrum et al., 2004                           | 2         |                |

### Saltvandsorganismer

#### Kronisk toksicitet

| Art   | Fødegrundlag           | Forsøgsparametre                  | Kemikalie                                      | Tid fra spikning til test (d) | Ekspone-ringstid (d) | Endpoint, Effekt               | Konc. (µg/kg) | Normaliseret effektkoncentration µg/g-OC<br>m: målt<br>n: nominel | Normaliseret effektkoncentration µg/kg (5% OC) | Reference             | Klimisch score |
|---|------------------------|-----------------------------------|--|-------------------------------|----------------------|--------------------------------|---------------|---|--|-----------------------|----------------|
| Tanglopp (Amphipoda)<br><i>Rhepoxygnus abronius</i> | <i>Deposit feeding</i> | Silt+ler: 73-81<br>TOC: 0,98-1,08 | PCB (Aroclor 1242, Aroclor 1254, Aroclor 1260) | 28-35                         | 10                   | NOEC, Overlevelse              | ≥ 27400       | 2560 <sup>m</sup>   | 128.000  | Murdoch et al., 1997a | 1              |
| Tanglopp (Amphipoda)<br><i>Rhepoxygnus abronius</i> | <i>Deposit feeding</i> | Silt+ler: 73-81<br>TOC: 0,98-1,08 | PCB (Aroclor 1242, Aroclor 1254, Aroclor 1260) | 28-35                         | 10                   | LOEC, Overlevelse              | > 27400       | 2560 <sup>m</sup>   | 128.000  | Murdoch et al., 1997a | 1              |
| Tanglopp (Amphipoda)                                | <i>Deposit feeding</i> | Voksen Temp. 15°C                 | Aroclor 1254                                   |                               | 10                   | LC <sub>10</sub> , Overlevelse | 6700          | 2680 <sup>n</sup>   | 134.000  | Swartz et al., 1988   | 3              |

|   |                 |   |  |          |       |                                 |         |                   |         |                       |
|---|-----------------|---|--|----------|-------|---------------------------------|---------|-------------------|---------|-----------------------|
| <i>Rhepoxyinius abronius</i>                              |                 | Salinitet: 25%<br>TOC: 0,25                         |  |          |       |                                 |         |                   |         |                       |
| Tanglope (Amphipoda) <i>Rhepoxyinius abronius</i>         | Deposit feeding | Voksen<br>Temp. 15°C<br>Salinitet: 25%<br>TOC: 0,25 | Aroclor 1254   |          | 10    | LC <sub>50</sub> , Overlevelse  | 10800   | 4320 <sup>n</sup> | 216.000 | Swartz et al., 1988   |
| Tanglope (Amphipoda) <i>Rhepoxyinius abronius</i>         | Deposit feeding | Voksen<br>Temp. 15°C<br>Salinitet: 25%<br>TOC: 0,25 | Aroclor 1254   |          | 10    | LC <sub>50</sub> , Overlevelse  | 8800    | 3520 <sup>m</sup> | 176.000 | Swartz et al., 1988   |
| Tanglope (Amphipoda) <i>Pontoporeia hoyi</i>              | Deposit feeding | OC: 1,0 ± 0,2%                                      | PCB-blanding, 7 kongenere  | 1        | 9     | NOEC, Overlevelse Ubundet       |         | 420               | 21.000  | Landrum et al., 1989  |
| Tanglope (Amphipoda) <i>Rhepoxyinius abronius</i>         | Deposit feeding | Salinitet: 25%<br>TOC: 0,25                         | Aroclor 1254   | -        | 10    | LC <sub>50</sub> , Død          |         | 2900 <sup>m</sup> | 145.000 | Swartz et al., 1988   |
| Tanglope (Amphipoda) <i>Rhepoxyinius abronius</i>         | Deposit feeding | Silt+ler: 73-81<br>TOC: 0,98-1,08                   | Aroclor blanding (22%Aroclor 1242, 66% Arochlor 1254; 12% Arochlor 1260) | 28       | 10/20 | NOEC, Overlevelse/vækst Ubundet |         | 2560 <sup>m</sup> | 128.000 | Murdoch et al., 1997a |
| Musling (Bivalvia) <i>Macoma nasuta</i>                   | Deposit feeding |   | PCB-blanding   | Variabel | 119   | NOEC, Overlevelse/vækst Ubundet |         | 81                | 4050    | Boese et al., 1995    |
| Havbørsteorm (Polychaeta) <i>Neanthes arenaceodentata</i> | Deposit feeding | Juvenil (14-21 d)<br>Silt+ler: 77<br>TOC: 1,03      | PCB (Aroclor 1242, Aroclor 1254, Aroclor 1260)                           | 28       | 120   | NOEC, Reproduktion              | 27400   | 2560 <sup>m</sup> | 128.000 | Murdoch et al., 1997b |
| Havbørsteorm (Polychaeta) <i>Neanthes arenaceodentata</i> | Deposit feeding | Juvenil (14-21 d)<br>Silt+ler: 77<br>TOC: 1,03      | PCB (Aroclor 1242, Aroclor 1254, Aroclor 1260)                           | 28       | 120   | LOEC, Reproduktion              | > 27400 | 2560 <sup>m</sup> | 128.000 | Murdoch et al., 1997b |
| Havbørsteorm (Polychaeta) <i>Neanthes arenaceodentata</i> | Deposit feeding |   | Aroclor blanding   | 28       | 120   | NOEC, Reproduktion              |         | 2560              | 128.000 | Murdoch et al., 1997b |
| Reje (Decapoda) <i>Crangon septemspinosa</i>              | Omnivore        |   | Aroclor 1242   | -        | 4     | NOEC, Overlevelse Ubundet       |         | 280               | 14.000  | Mc.Leese et al., 1980 |
| Reje (Decapoda) <i>Crangon septemspinosa</i>              | Omnivore        |   | Aroclor 1254   | -        | 4     | NOEC, Overlevelse Ubundet       |         | 1200              | 60.000  | Mc.Leese et al., 1980 |

|  |                         |        |                     |          |           |   |  |  |   |                                 |             |
|--|-------------------------|--------|---------------------|----------|-----------|---|--|--|---|---------------------------------|-------------|
| Vandloppet<br>(Copepoda)<br><i>Microarthridion</i><br><i>littorale</i>           | <i>Herbivore</i>        | Hunner | Aroclor 1254        | -        | 4         | LC <sub>50</sub> ,<br>Overlevelse               |  | 6400   | 320.000   | DiPinto et<br>al., 1993         | 2, 3        |
| Vandloppet<br>(Copepoda)<br><i>Microarthridion</i><br><i>littorale</i>           | <i>Herbivore</i>        | Hanner | Aroclor 1254        | -        | 4         | LC <sub>50</sub> ,<br>Overlevelse               |  | 3000   | 150.000   | DiPinto et<br>al., 1993         | 2, 3        |
| <b>Vandloppet<br/>(Copepoda)<br/><i>Microarthridion</i><br/><i>littorale</i></b> | <b><i>Herbivore</i></b> |        | <b>Aroclor 1254</b> | <b>-</b> | <b>12</b> | <b>LOEC,<br/>Reproduk-<br/>tion<br/>Ubundet</b> |  | <b>100<br/>(omregnet<br/>til<br/>NOEC=50<br/>ved division<br/>med 2)</b> | <b>5000<br/>(omregne<br/>t til<br/>NOEC=<br/>2500 ved<br/>division<br/>med 2)</b> | <b>DiPinto et<br/>al., 1993</b> | <b>2, 3</b> |

## Bilag B

Sammenligning af NOAEL / LOAEL-body burden (BB) for NDL (ikke-dioxin-lignende). PCBer testet in-vivo med estimerede menneskelige belastninger af NDL-PCB, udtrykt som margin for belastning (MoBB). Data hentet fra Miljøstyrelsen (2014).

Bemærk at tabellen er på engelsk, og derfor er der engelsk tegnsætning i denne tabel.

| PCB No    | Human Body Burden (µg/kg) | DT50 (days) | Effect  | NOAEL µg/kg/d  | NOAEL Body Burden µg/kg/d | LOAEL µg/kg/d   | LOAEL Body burden µg/kg/d | MoBB NOAEL | MoBB LOAEL  | Reference i Miljøstyrelsen |
|-----------|---------------------------|-------------|---|----------------|---------------------------|-----------------|---------------------------|------------|-------------|----------------------------|
| 1         |                           |             | Increased uterus weight, immature rat                                     |                |                           | 160,000 i.p.    | 160,000 <sup>e)</sup>     |            |             | Ecobichon (1974)           |
| 2         |                           |             | Increased uterus weight, immature rat                                     | 160,000 i.p.   | 160,000 <sup>e)</sup>     |                 |                           |            |             | Ecobichon (1974)           |
| 3         |                           |             | Increased uterus weight, immature rat                                     | 160,000 i.p.   | 160,000 <sup>e)</sup>     |                 |                           |            |             | Ecobichon (1974)           |
| 4         |                           |             | 0.15  | 160,000 i.p.   | 160,000 <sup>e)</sup>     |                 |                           |            |             | Ecobichon (1974)           |
| 8         | 0.18                      |             | Increased uterus weight, immature rat                                     | 160,000 i.p.   | 160,000 <sup>e)</sup>     |                 |                           |            |             | Ecobichon (1974)           |
| 11        |                           |             | Increased uterus weight, immature rat                                     | 160,000 i.p.   | 160,000 <sup>e)</sup>     |                 |                           |            |             | Ecobichon (1974)           |
| 15        |                           |             | Increased uterus weight, immature rat                                     | 160,000 i.p.   | 160,000 <sup>e)</sup>     |                 |                           |            |             | Ecobichon (1974)           |
| 18        | 0.018                     | 2           | Increased uterus weight/  |                |                           | 8,000 i.p.      | 12,000 <sup>e)</sup>      |            | 670000      | Li (1995)                  |
| 18        |                           |             | Immature rat Serum thyroxine, weanling rat                                | 128000         | 190,000 <sup>c)</sup>     |                 |                           | >1e7       |             | Li (1995)                  |
| <b>28</b> | <b>0.44</b>               | <b>1.4</b>  | <b>90-day toxicity, rat, liver and thyroid</b>                            | <b>36 p.o.</b> | <b>400<sup>d)</sup></b>   | <b>360 p.o.</b> | <b>4000<sup>d)</sup></b>  | <b>900</b> | <b>9000</b> | <b>Chu (1996a)</b>         |
| 28        | 0.44                      | 1.4         | Repro rat, decreased body weight and spatial learning in female offspring | 8,000 p.o.     | 14,000 <sup>c)</sup>      | 32,000 p.o.     | 56,000 <sup>c)</sup>      | 32000      | 127000      | Ness (1993)                |
| 33        | 0.012                     | 0.2         | -   |                |                           |                 |                           |            |             |                            |
| 37        | 0.0025                    | 0.34        | -   |                |                           |                 |                           |            |             |                            |
| 47        | 0.28                      | 3           | Repro, rat, decreased dopamin in offspring                                | 1,000 p.o.     | 4,200 <sup>c)</sup>       | 10000           | 42,000 <sup>c)</sup>      | 15000      | 150000      | Seegal (1997)              |
| 47        |                           |             | Repro, rat, sexual behaviour  | 1,000 i.p.     | 4,200 <sup>c)</sup>       | 20000           | 84,000 <sup>c)</sup>      | 15000      | 300000      | Wang (2002)                |
| 47        |                           |             | Thyroid, weanling rat,  | 4,100 p.o.     | 4,100 <sup>d)</sup>       |                 |                           | 15000      |             | Saeed (1997)               |
| 47        |                           |             | Increased uterus weight, immature rat                                     | 3000           | 6,000 <sup>c)</sup>       | 9000            | 18,000 <sup>c)</sup>      | 21000      | 64000       | Seegal (2005)              |
| 47        |                           |             | Repro, rat, decreased dopamin in offspring                                | 10000          | 42,000 <sup>c)</sup>      | 20000           | 84,000 <sup>c)</sup>      | 150000     | 300000      | Seegal (2005)              |
| 52        | 0.064                     | 0.9         | Increased uterus weight, immature rat                                     |                |                           | 14,000 i.p.     | 20,000 <sup>c)</sup>      |            | 312500      | Jansen (1993)              |

| PCB No    | Human Body Burden (µg/kg) | DT50 (days) | Effect   | NOAEL µg/kg/d     | NOAEL Body Burden µg/kg/d | LOAEL µg/kg/d       | LOAEL Body burden µg/kg/d | MoBB NOAEL   | MoBB LOAEL | Reference i Miljøstyrelsen |
|-----------|---------------------------|-------------|--|-------------------|---------------------------|---------------------|---------------------------|--------------|------------|----------------------------|
| <b>52</b> |                           |             | <b>Immunotoxicity, rat</b>                     | <b>1,000 p.o.</b> | <b>5,000<sup>c)</sup></b> |                     |                           | <b>78000</b> |            | <b>Sargent (1991)</b>      |
| 52        |                           |             | Thyroid, T3 in dams, rat                       | 3000              | 4,000 <sup>c)</sup>       | 10000               | 13,000 <sup>c)</sup>      | 63000        | 200000     | Lillienthal (2011)         |
| 52        |                           |             | Thyroid, T3 in offspring, rat                  |                   |                           | 3000                | 4,000 <sup>c)</sup>       |              | 63000      | Lillienthal (2011)         |
| 52        |                           |             | Hearing threshold, rat offspring               |                   |                           | 5000                | 6,500 <sup>c)</sup>       |              | 100000     | Lillienthal (2011)         |
| 52        |                           |             | Learning, rat offspring                        | 1000              | 1300                      |                     |                           | 20000        |            | Boix (2010)                |
| 54        | 0.2                       |             | Increased uterus weight, immature rat          | 3000              | 3,600 <sup>c)</sup>       | 10000               | 12,000 <sup>c)</sup>      |              |            | Arcaro (1999)              |
| 60        | 0.082                     | 0.3         | -  |                   |                           |                     |                           |              |            |                            |
| 66        | 0.24                      |             | -  |                   |                           |                     |                           |              |            |                            |
| 74        | 1.36                      | 3.1 (37)    | -  |                   |                           |                     |                           |              |            |                            |
| 95        | 1.4                       |             | Repro, rat                                     | 32,000 po         | 64,000 <sup>c)</sup>      |                     |                           |              |            | Schantz (1996)             |
| 95        |                           |             | Repro, behaviour, rat                          |                   |                           | 8,000 p.o.          | 16,000 <sup>c)</sup>      |              |            | Schants (1997)             |
| 95        |                           |             | Thyroid, rat                                   | 4,000 i.p.        | 7,000 <sup>c)</sup>       | 8,000 i.p.          | 14,000 <sup>c)</sup>      |              |            | Khan (2002)                |
| 95        |                           |             | Repro, auditory cortex changes, rat            |                   |                           | 6000 p.o.           | 12,000 <sup>c)</sup>      |              |            | Kenet (2007)               |
| 99        | 1,24                      | >90         | -  |                   |                           |                     |                           |              |            |                            |
| 101       | 0.138                     | 2.6         | Thyroid, rat                                   |                   |                           | 16,000 i.p.         | 30,000 <sup>c)</sup>      |              | 220000     | Khan (2002, 2003)          |
| 110       | 0.042                     | 2.5 (64)    | Oestrogenicity and thyroid hormone, rat        | 4,000 i.p.        | 8,000 <sup>c)</sup>       | 16,000 i.p.         | 32,000 <sup>c)</sup>      | 190000       | 762000     | Li (1998)                  |
| 128       | 0.126                     | 6.3         | 90 day toxicity, rat, liver and thyroid        | 42 p.o.           | 800 <sup>d)</sup>         | 420 p.o.            | 7,000 <sup>d)</sup>       | 6500         | 55000      | Lecavalier (1997)          |
| 132       |                           |             | Sperm count, rat offspring                     |                   |                           | 1,000 <sup>e)</sup> | 1000                      |              |            | Hsu (2007)                 |
| 132       |                           |             | Oestrogenicity, thyroid hormones, immature rat | 48,000 i.p.       | 96,000 <sup>c)</sup>      |                     |                           |              |            | Li (2001)                  |
| 138       | 11.1                      | >90         | Learning, rat offspring                        |                   |                           | 1000                | 15,000 <sup>c)</sup>      |              | 1400       | Boix (2010)                |
| 141       | 0.034                     | >90         |  |                   |                           |                     |                           |              |            |                            |
| 149       |                           |             | Oestrogenicity, immature rat                   | 48,000 i.p.       | 96,000 <sup>c)</sup>      |                     |                           |              |            | Li (2001)                  |
| 149       |                           |             | Thyroid hormones, immature rat                 | 8000              | 16,000 <sup>c)</sup>      | 32000               | 64,000 <sup>c)</sup>      |              |            | Li (2001)                  |
| 153       | 13.56                     | >90         | 90 day toxicity, rat, liver and thyroid        | 34 p.o.           | 1,200 <sup>d)</sup>       | 340                 | 9,000 <sup>d)</sup>       | 85           | 660        | Chu (1996b)                |
| 153       |                           |             | Reproduction, rat                              | 125000            | 125,000 <sup>c)</sup>     | 250000              | 250,000 <sup>c)</sup>     | 9200         | 18400      | Morrisey (1992)            |
| 153       |                           |             | Oestrogenicity, rat, ip                        | 11,000 i.p.       | 22,000 <sup>c)</sup>      | 25,000 i.p.         | 50,000 <sup>c)</sup>      | 1600         | 3700       | Li (1994)                  |
| 153       |                           |             | Thyroid, rat offspring                         |                   |                           | 16000               | 32,000 <sup>c)</sup>      |              | 2300       | Ness (1993)                |
| 153       |                           |             | Learning, rat offspring                        | 16,000 po.        | 32,000 <sup>c)</sup>      | 32000               | 64,000 <sup>c)</sup>      | 2300         | 4700       | Schantz (1995)             |

| PCB No     | Human Body Burden (µg/kg) | DT50 (days) | Effect                                       | NOAEL µg/kg/d | NOAEL Body Burden µg/kg/d | LOAEL µg/kg/d | LOAEL Body burden µg/kg/d  | MoBB NOAEL | MoBB LOAEL | Reference i Miljøstyrelsen |
|------------|---------------------------|-------------|--|---------------|---------------------------|---------------|----------------------------|------------|------------|----------------------------|
| 153        |                           |             | Hyperactivity, rat offspring                 |               |                           | 5000          | 50,000 <sup>c)</sup>       |            | 3687       | Holene (1998)              |
| 153        |                           |             | Immunotoxicity, mouse, po                    | 100000        | 100,000 <sup>e)</sup>     |               |                            | 7500       |            | Kerkvliet (1990)           |
| 153        |                           |             | Thyroid, rat offspring                       | 16000         | 112,000 <sup>c)</sup>     | 64000         | 448,000 <sup>c)</sup>      | 8300       | 33000      | Kobayashi (2008)           |
| 153        |                           |             | Growth, rat offspring                        | 1000          | 35,000 <sup>c)</sup>      | 5000          | 175,000 <sup>c)</sup>      | 2600       | 13000      | Sitarek (2009)             |
| 153        |                           |             | Elevated monoamine in brain, offspring, rats | 16000         | 112,000 <sup>c)</sup>     | 64000         | 448,000 <sup>c)</sup>      | 8300       | 33000      | Honma (2009)               |
| <b>153</b> |                           |             | <b>Testis/sperm, rat offspring</b>           | <b>25</b>     | <b>125<sup>e)</sup></b>   | <b>2500</b>   | <b>12,500<sup>c)</sup></b> | <b>10</b>  | <b>50</b>  | <b>Xiao (2010)</b>         |
| 153        |                           |             | Thyroid, rat offspring                       |               |                           | 25            | 125 <sup>c)</sup>          |            | 10         | Xiao (2010)                |
| 153        |                           |             | 2-Year toxicity, liver and thyroid, rat      | 70            | 16,000 <sup>d)</sup>      | 210           | 52,000 <sup>d)</sup>       | 1200       | 3800       | NTP (2006)                 |
| 170        | 3.58                      | >90         | Immunotoxicity, mice, ip                     | 50000         | 50,000 <sup>e)</sup>      | 100000        | 100,000 <sup>e)</sup>      | 14000      | 28000      | Harper (1995)              |
| 180        | 9.16                      | >90         | Immunotoxicity, mice, ip                     | 50000         | 50,000 <sup>e)</sup>      | 100000        | 100,000 <sup>e)</sup>      | 5500       | 11000      | Harper (1995)              |
| 180        |                           |             | Learning, rat offspring                      |               |                           | 1000          | 15,000 <sup>c)</sup>       |            | 1650       | Boix (2010)                |
| 180        |                           |             | Thyroid, T3, rat offspring                   |               |                           | 7500          | 30,000 <sup>c)</sup>       |            | 3300       | Lilienthal (2011)          |
| 180        |                           |             | Hearing threshold, rat offspring, BMD        |               |                           | 73000         | 73,000 <sup>c)</sup>       |            | 8000       | Lilienthal (2011)          |
| 180        |                           |             | 28-Days toxicity, liver hypertrophy, rat     | 340           | 9,400 <sup>c)</sup>       | 500           | 15,000 <sup>c)</sup>       | 1025       | 1650       | Ross (2011)                |
| 183        | 1.2                       |             | -  |               |                           |               |                            |            |            |                            |
| 187        | 1.92                      | >90         | -  |               |                           |               |                            |            |            |                            |
| 194        | 0.64                      | >90         | -  |               |                           |               |                            |            |            |                            |
| 206        | 0.06                      |             | Immunotox, mice, ip                          | 4600          | 4,600 <sup>e)</sup>       | 11500         | 11,500 <sup>e)</sup>       | 77000      | 192000     | Harper (1993)              |
| 207        |                           |             | Immunotox, mice, ip                          | 4600          | 4,600 <sup>e)</sup>       | 11500         | 11,500 <sup>e)</sup>       |            |            | Harper (1993)              |
| 208        |                           |             | Immunotox, mice, ip                          | 4600          | 4,600 <sup>e)</sup>       | 11500         | 11,500 <sup>e)</sup>       |            |            | Harper (1993)              |
| 209        | 0.028                     |             | Immunotox, mice, ip                          | 11500         | 11,500 <sup>e)</sup>      | 46000         | 46,000 <sup>c)</sup>       | 410000     | 1600000    | Harper (1993)              |

a) Human body burdens calculated from the median PCB concentrations found in human milk (EFSA 2005) assuming 20% lipid in the human body.

b) MoBB (Margin of body burdens) is calculated by dividing the estimated body burden in animals at the NOAEL or LOAEL with the calculated median human body burden.

c) The body burden at study termination was estimated assuming 100% bioavailability and one compartment, first order elimination kinetics, using the half-lives in rats reported for individual PCB by Tanabe *et al.* (1981).

d) The body burdens were calculated from the reported measured accumulated concentrations of the respective NDL-PCB in the fat tissue of the rats. It was assumed that the rats contained 10% fat as reported by Geyer *et al.*, (1990).

e) Single dose study. The dose was considered equal to the body burden, assuming 100% bioavailability, irrespective of the route of administration.

## Bilag C

### Kronisk og sub-kronisk toksicitet af PCB over for fugle og pattedyr. Data hentet fra MST (2012).

Der er i forbindeser med dette datablad ikke foretaget en vurdering af studiernes kvalitet, idet disse blev gennemgået i MST (2012). Derfor er kun de studier, som også blev anvendt i MST (2012), anvendt her.

De studier, der er markeret med fed, er anvendt til etablering af SSD.

Bemærk at tabellen er på engelsk og der derfor er anvendt engelsk tegnsætning i denne tabel.

| Dyr<br>Animal                         | PCB          | Endpoint          | Konc. i føde (mg/kg)<br>Conc. in food (mg/kg) | Eksponeringstid<br>Exposure duration | Bemærkninger<br>Remarks  | Reference                  |
|---------------------------------------|--------------|-------------------|---|--------------------------------------|--|----------------------------|
| <b>Fugle</b>                          |              |                   |   |                                      |  |                            |
| Anas platyrhynchos (gråand)           | Aroclor 1242 | EC <sub>8,9</sub> | 150   | 12 weeks                             | Eggshell thickness   | Hasseltine & Prouty (1980) |
| Coturnix coturnix (vagtel)            | Clophen A60  | EC <sub>10</sub>  | 33.6  | 21 dg                                | 10% increase in liver-weight.Mg/kg feed. Deduced from data in the article. No statistical difference between ♂♂ and ♀♀. Data for ♂♂ and ♀♀ pooled. | Biessmann (1982)           |
| Coturnix coturnix (vagtel)            | Aroclor 1242 | EC <sub>18</sub>  | 312.5   | 21 dg                                | Number of eggs per day hens were in the experiment   | Call & Harrell (1974)      |
| Coturnix coturnix (vagtel)            | Aroclor 1254 | EC <sub>47</sub>  | 78.1  | 21 dg                                | Number of eggs per day hens were in the experiment   | Call & Harrell (1974)      |
| Coturnix coturnix (vagtel)            | Aroclor 1260 | EC <sub>13</sub>  | 62.5  | 21 dg                                | Number of eggs per day hens were in the experiment   | Call & Harrell (1974)      |
| Coturnix coturnix (vagtel)            | Clophen A60  | EC <sub>10</sub>  | 121   | 21 dg                                | Egg-laying capacity.Mg/kg feed. Exposure in sexual maturation period (week 2, 3 and 4). Value deduced from data in article                         | Biessmann (1982)           |
| Falco sparverius (amerikansk tårfalk) | Aroclor 1242 | EC <sub>10</sub>  | 7   | 5 months                             | Reduced plasma thyroxine levels. Approximate value deduced from fig. 1, using averages of week 3, 4 and 5  | Quinn et al. (2002)        |

| Dyr<br>Animal                               | PCB<br>PCB                            | Endpoint<br>Endpoint                              | Konc. i føde (mg/kg)<br>Conc. in food (mg/kg) | Eksponeringstid<br>Exposure duration | Bemærkninger<br>Remarks   | Reference<br>Reference     |
|---|---------------------------------------|---|---|--------------------------------------|---|----------------------------|
| Falco sparverius<br>(amerikansk<br>tårfalk) | Aroclor<br>1248:1254:1<br>260 - 1:1:1 | EC <sub>x</sub>                                   |   |                                      | Male sexual behaviour increased<br>by about 100% at a dosis of about<br>7 mg/kg bw pr. dg   | Fisher et al. (2001)       |
| Falco sparverius<br>(amerikansk<br>tårfalk) | Aroclor<br>1248:1254:1<br>260 - 1:1:1 | EC <sub>x</sub>                                   |   | 100 dg                               | No. of fledgling per breeding<br>pair. Deduced from table 1 in the<br>article.  | Fernie et al. (2001a)      |
| Falco sparverius<br>(amerikansk<br>tårfalk) | Aroclor<br>1248:1254:1<br>260 - 1:1:1 | EC <sub>x</sub>                                   |   |                                      | Male sexual behaviour increased<br>by about 100% at a dosis of about<br>7 mg/kg bw pr. dg   | Fisher et al. (2001)       |
| Falco sparverius<br>(amerikansk<br>tårfalk) | Aroclor<br>1248:1254:1<br>260 - 1:1:1 | NOAEL   | 7 mg/kg bw per day                            | 100 dg                               | No. of fledgling per breeding<br>pair. Deduced from table 1 in the<br>article.  | Fernie et al. (2001a)      |
| Falco sparverius<br>(amerikansk<br>tårfalk) | Aroclor 1254                          | LOEC<br>(EC <sub>22</sub> -<br>EC <sub>27</sub> ) | 33  | 62-69 dg                             | ww. Semen quality   | Bird et a. (1983)          |
| <b>Gallus gallus<br/>(høns)</b>             | <b>Aroclor<br/>1254</b>               | <b>EC<sub>10</sub></b>                            | <b>0.5</b>                                    | <b>31-42 weeks</b>                   | <b>Egg laying. Deduced from data<br/>in article</b>   | <b>Solly et al. (1976)</b> |
| Gallus gallus<br>(høns)                     | Aroclor 1232                          | EC <sub>60</sub>                                  | 20  | 9 weeks                              | 20 mg/kg feed ==> max embryo<br>mortality of approximately 60%  | Cecil et al. (1974)        |
| Gallus gallus<br>(høns)                     | Aroclor 1242                          | EC <sub>10</sub>                                  | 53  | 28 dg                                | Weight gain. Deduced from data<br>in article  | Holleman et al. (1976)     |
| Gallus gallus<br>(høns)                     | Aroclor 1242                          | EC <sub>10</sub>                                  | 57  | 28 dg                                | Mortality. Deduced from data in<br>article  | Holleman et al. (1976)     |
| Gallus gallus<br>(høns)                     | Aroclor 1242                          | EC <sub>10</sub>                                  | 3.5   | 8 weeks                              | Hatchability. Deduced from data<br>in article   | Lillie et al. (1975)       |
| Gallus gallus<br>(høns)                     | Aroclor 1242                          | EC <sub>12</sub>                                  | 48  | 7 weeks                              | Growth judged from figure in<br>article. There were as well effects<br>on Ca and Zn uptake, and on<br>some physiological endpoints. | Turk & Hietman (1976)      |
| Gallus gallus<br>(høns)                     | Aroclor 1242                          | EC <sub>x</sub>                                   | 20  | 10 weeks                             | 20 mg/kg feed ==> 100% embryo<br>mortality after 10 weeks exposure  | Ax & Hansen (1975)         |
| Gallus gallus<br>(høns)                     | Aroclor 1242                          | EC <sub>x</sub>                                   | 20  | 9 weeks                              | 20 mg/kg feed ==> max embryo<br>mortality of approximately 93%  | Cecil et al. (1974)        |
| Gallus gallus<br>(høns)                     | Aroclor 1248                          | EC <sub>x</sub>                                   | 20  | 9 weeks                              | 20 mg/kg feed ==> max embryo<br>mortality of approximately 96%  | Cecil et al. (1974)        |
| Gallus gallus<br>(høns)                     | Aroclor 1248                          | EC <sub>10</sub>                                  | 2.1   | 8 weeks                              | Hatchability. Deduced from data<br>in article. At 8 weeks   | Scott (1977)               |

| Dyr<br>Animal        | PCB<br>PCB   | Endpoint<br>Endpoint | Konc. i føde (mg/kg)<br>Conc. in food (mg/kg) | Eksponeringstid<br>Exposure duration | Bemærkninger<br>Remarks   | Reference<br>Reference |
|----------------------|--------------|----------------------|---|--------------------------------------|---|------------------------|
|                      |              |                      |   |                                      | accumulation in eggs and hens was still far from steady state   |                        |
| Gallus gallus (høns) | Aroclor 1248 | EC <sub>10</sub>     | 6.4   | 8 weeks                              | Hatchability. Deduced from data in article  | Lillie et al. (1975)   |
| Gallus gallus (høns) | Aroclor 1254 | EC <sub>10</sub>     | 13  | 40 weeks                             | Semen volume. Approximate value deduced from data in article  | Ahmed et al. (1978)    |
| Gallus gallus (høns) | Aroclor 1254 | EC <sub>10</sub>     |   | 5dg                                  | Liver weight. Deduced from data in article  | Chen et al. (1994)     |
| Gallus gallus (høns) | Aroclor 1254 | EC <sub>10</sub>     | 1.5   | 5dg                                  | Microsomal protein. Deduced from data in article  | Chen et al. (1994)     |
| Gallus gallus (høns) | Aroclor 1254 | EC <sub>10</sub>     | 1.8   | 3 weeks                              | Growth from 5 weeks of age to 8 weeks of age. Deduced from regression formula given in the article. The 10% effect is in relation to weight in the group fed 0,1 mg/kg feed | Bird et al. (1978)     |
| Gallus gallus (høns) | Aroclor 1254 | EC <sub>10</sub>     | 0.5   | 31-42 weeks                          | Egg laying. Deduced from data in article  | Solly et al. (1976)    |
| Gallus gallus (høns) | Aroclor 1254 | EC <sub>10</sub>     | 13  | 40 weeks                             | Semen volume. Approximate value deduced from data in article  | Ahmed et al. (1978)    |
| Gallus gallus (høns) | Aroclor 1254 | EC <sub>10</sub>     | 5   | 5 dg                                 | Liver weight. Deduced from data in article  | Chen et al. (1994)     |
| Gallus gallus (høns) | Aroclor 1254 | EC <sub>10</sub>     | 1.5   | 5 dg                                 | Microsomal protein. Deduced from data in article  | Chen et al. (1994)     |
| Gallus gallus (høns) | Aroclor 1254 | EC <sub>10</sub>     | 1.8   | 3 weeks                              | Growth from 5 weeks of age to 8 weeks of age. Deduced from regression formula given in the article. The 10% effect is in relation to weight in the group fed 0,1 mg/kg feed | Bird et al. (1978)     |
| Gallus gallus (høns) | Aroclor 1254 | EC <sub>97</sub>     | 20  | 10 weeks                             | 20 mg/kg feed ==> 92% embryo mortality 14 weeks after onset of exposure   | Ax & Hansen (1975)     |
| Gallus gallus (høns) | Aroclor 1254 | EC <sub>32</sub>     | 20  | 9 weeks                              | 20 mg/kg feed ==> max embryo mortality of approximately 32%   | Cecil et al. (1974)    |

| Dyr<br>Animal                       | PCB<br>PCB                             | Endpoint<br>Endpoint | Konc. i føde (mg/kg)<br>Conc. in food (mg/kg) | Eksponeringstid<br>Exposure duration | Bemærkninger<br>Remarks   | Reference<br>Reference  |
|-------------------------------------|--|----------------------|---|--------------------------------------|---|---|
| Streptopelia<br>rissoria (ringduer) | Aroclor<br>1242; 1248;<br>1260 (1:1:1) | EC <sub>x</sub>      | 27-193  | 105 dg                               |   | Drouillard & Nordstrom (2003)   |
| Streptopelia<br>rissoria (ringduer) | Aroclor 1254                           | EC <sub>74</sub>     | 10  | 2 generations                        | Hatchability.   | Peakall & Peakall (1973)  |
| Uria aalgae<br>(lomvie)             | Aroclor<br>1254                        | EC <sub>10</sub>     | ≈ 22  | 45 dg                                | <b>Weight of pituitary. Estimated from the regression given in article</b>                                  | <b>Jefferies &amp; Parslow (1976) + Barrett et al. (2002) (food consumption, see below)</b> |
| <b>Pattedyr</b>                     |  |                      |   |                                      |   |   |
| Cavia porcellus<br>(Marsvin)        | Clophen<br>A50                         | NOEC                 | 25  | 43 dg                                | <b>Maternal weight decrease. The number of dead fetuses was about 3x control level</b>                      | Lundkvist (1990)  |
| Cavia porcellus<br>(Marsvin)        | Clophen A50                            | EC <sub>70</sub>     | ca. 4 mg/kg bw/dg                             | 45 dg                                | No. Of live foetuses  | Brunström et al. (1982)   |
| Macaca mulatta<br>(Rhesus abe)      | Aroclor<br>1248                        | EC <sub>10</sub>     | 1   | 20 weeks                             | <b>Reduction in serum gamma globulin. Approximate value deduced from data in article</b>                    | Thomas & Hinsdill (1978)  |
| Macaca mulatta<br>(Rhesus abe)      | Aroclor 1248                           | EC <sub>37</sub>     | 2.5   | 10 months                            | Reproduction. Calculated from data in article.  | Barsotti et al. (1976)  |
| Macaca mulatta<br>(Rhesus abe)      | Aroclor 1254                           | EC <sub>x</sub>      |   | 120 weeks                            | 280 µg/kg per dg 5 days a week ==>100% abortion (only 4 test individuals)                                   | Arnold et al. (1990)  |
| Mus musculus<br>(Mus)               | Aroclor<br>1248                        | EC <sub>10</sub>     | 18  | 5 weeks                              | <b>Increase in mortality after endotoxin challenge.<br/>Approximate value deduced from data in article.</b> | Thomas & Hinsdill (1978)  |
| Mus musculus<br>(Mus)               | Aroclor 1254                           | EC <sub>10</sub>     | 30  | 30 dg                                | Liver weight. Approximate value deduced from data in article.   | Sanders et al. (1977)   |
| Mustela putorius<br>(ilder)         | Aroclor<br>1016                        | NOEC                 | 10  | 8 months                             | <b>Reproduction</b>   | Bleavins et al. (1980)  |
| Mustela putorius<br>(ilder)         | Aroclor 1242                           | EC <sub>x</sub>      |   | 8 months                             | 100% impairment of reproduction at 20 mg/kg   | Bleavins et al. (1980)  |
| Mustela vison<br>(Mink)             | Aroclor<br>1254                        | EC <sub>10</sub>     | 0.3   | 4 months                             | <b>Kits per female. Approximate value deduced from data in article</b>                                      | Aulerich & Ringer (1977)  |

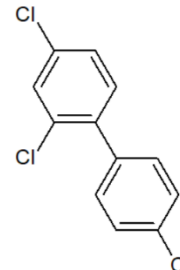
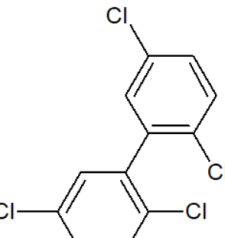
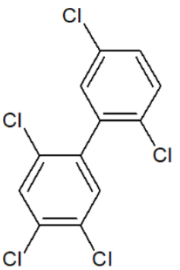
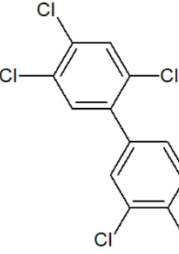
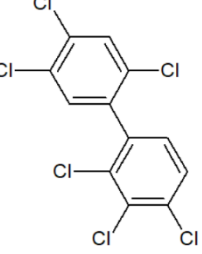
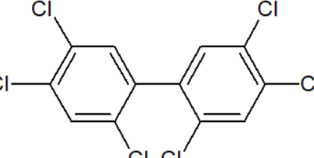
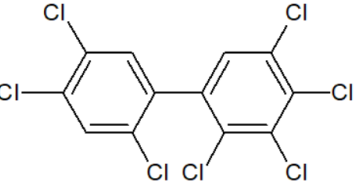
| Dyr<br>Animal                                      | PCB<br>PCB              | Endpoint<br>Endpoint   | Konc. i føde (mg/kg)<br>Conc. in food (mg/kg) | Eksponeringstid<br>Exposure duration | Bemærkninger<br>Remarks   | Reference<br>Reference  |
|--|-------------------------|------------------------|---|--------------------------------------|---|---|
| Mustela vison<br>(Mink)                            |                         | NOEC                   | 1   |                                      | Calculated from NOAEL = 53 µg/kg bw/dg. Bw 1.129 kg (Bäcklin et al. 1998). Dayly food intake 60 g/dg (53 g/kg bw per day, Bleavins & Aulerich 1981). Feed was fish. | Fuchsman et al. (2008)  |
| Mustela vison<br>(Mink)                            | Aroclor 1016            | EC <sub>42</sub>       | 20  | 8 months                             | Reproduction  | Bleavins et al. (1980)  |
| Mustela vison<br>(Mink)                            | Aroclor 1242            | EC <sub>10</sub>       | 0.5   | 8 months                             | Reproduction. Approximate value deduced from data in article  | Bleavins et al. (1980)  |
| Mustela vison<br>(Mink)                            | Aroclor 1254            | EC <sub>10</sub>       | 1.3   | 4 months                             | Body weight gain. Approximate value, deduced from data in article   | Aulerich & Ringer (1977)  |
| Mustela vison<br>(Mink)                            | Aroclor 1254            | EC <sub>10</sub>       | 0.5   | 9 months                             | Kits per female. Approximate value deduced from data in article   | Aulerich & Ringer (1977)  |
| Mustela vison<br>(Mink)                            | Aroclor 1254            | EC <sub>10</sub>       | 0.5   | 9 months                             | Increased liver weight. Approximate value deduced from data in article  | Aulerich & Ringer (1977)  |
| Mustela vison<br>(Mink)                            | Aroclor 1254            | NOEC                   | 0,32  | 5 months                             | Mortality   | Platonow & Karstad (1973)   |
| Mustela vison<br>(Mink)                            | Clophen A50             | EC <sub>10</sub>       | ≈ 3.5   | 79-94 dg                             | Viable fetuses. Deduced from data in article  | Bäcklin et al. (1998) - Food consumption see Bleavins & Aulerich (1981) |
| Mustela vison<br>(Mink)                            | Clophen A50             | EC <sub>10</sub>       | 0.8   | 18 months                            | Weight of kits at birth. Deduced from data in article   | Brunström et al. (2001)   |
| Mustela vison<br>(Mink)                            | Clophen A50             | EC <sub>10</sub>       | 0.9   | 18 months                            | Weight of thymus in new-born. Approximate value deduced from data in article  | Brunström et al. (2001)   |
| Myotis lucifugus<br>(flagermus)                    | Aroclor 1260            | EC <sub>17</sub>       | 15  | 40 dg                                | Mortality. 2 of 12 died at a dose of 15 mg/kg feed (mealworms)  | Clark & Stafford (1981)   |
| <b>Peromyscus<br/>leucopus<br/>(hvidfodet mus)</b> | <b>Aroclor<br/>1254</b> | <b>EC<sub>10</sub></b> | <b>9.4</b>                                    | <b>5 weeks</b>                       | <b>Weight of liver. Deduced from data in article</b>  | <b>Sanders &amp; Kirkpatrick (1977)</b>                                 |

| Dyr<br>Animal                     | PCB<br>PCB           | Endpoint<br>Endpoint   | Konc. i føde (mg/kg)<br>Conc. in food (mg/kg) | Eksponeringstid<br>Exposure duration | Bemærkninger<br>Remarks   | Reference<br>Reference         |
|-----------------------------------|----------------------|------------------------|---|--------------------------------------|---|--------------------------------|
| Peromyscus polionatus (strandmus) | Aroclor 1254         | EC <sub>75</sub>       | 5   | 2 generations                        | Survival to weaning of second generation. Body burden 15 mg/kg bw   | McCoy et al. (1995)            |
| <b>Rattus norvegicus (rotte)</b>  | <b>Aroclor 1254</b>  | <b>EC<sub>10</sub></b> | <b>13</b>                                     | <b>15 weeks</b>                      | <b>Liver weight in males. Approximate value deduced from data in article.</b>   | <b>Earl Gray et al. (1993)</b> |
| Rattus norvegicus (rotte)         | Aroclor 1254         | EC <sub>10</sub>       | 49  | 26 months                            | Mortality of pups   | Bushnell et al. (2002)         |
| Rattus norvegicus (rotte)         | Aroclor 1254         | EC <sub>10</sub>       | 20  | 10 dg                                | Increase in liver weight. Approximate value deduced from data in article  | Carter & Mercer (1983)         |
| Rattus norvegicus (rotte)         | Aroclor 1016         | NOEC                   | 50  | 24 months                            | Total tumors  | Brown et al. (2007)            |
| Rattus norvegicus (rotte)         | Aroclor 1242         | LOEC                   | 50  | 24 months                            | Total tumors  | Brown et al. (2007)            |
| Rattus norvegicus (rotte)         | Aroclor 1254         | EC <sub>10</sub>       | 20  | 20 dg                                | Body weight gain. Approximate value deduced from data in article. Square root transformation.   | Garthoff et al. (1977)         |
| Rattus norvegicus (rotte)         | Aroclor 1254         | EC <sub>10</sub>       | 25  | 105 weeks                            | Survival of males. Deduced from data in article.  | Ward (1985)                    |
| Rattus norvegicus (rotte)         | Aroclor 1254         | EC <sub>100</sub>      | ≤ 1,25  | 1 year                               | Reproduction  | Donahue et al. (2002)          |
| Rattus norvegicus (rotte)         | Aroclor 1254         | LOEC                   | 25  | 24 months                            | Total tumors  | Brown et al. (2007)            |
| Rattus norvegicus (rotte)         | Aroclor 1254         | NOEC                   | 200   | 10 dg                                | Deduced from data in article. EC <sub>10</sub> value approximate. NOEC value corresponds to about 17% effect. Information in article on methodology very meager; refers to another article. | Spencer (1982)                 |
| Rattus norvegicus (rotte)         | Aroclor 1254 og 1260 | EC <sub>10</sub>       | 3   | 2 generations                        | Liver weight in F1 generation. Approximate value deduced from data in article (A1254 and A1260 data pooled). No clear trends in reproduction and pup survival.                              | Linder et al. (1974)           |

| Dyr<br>Animal                | PCB<br>PCB              | Endpoint<br>Endpoint   | Konc. i føde (mg/kg)<br>Conc. in food (mg/kg) | Eksponeringstid<br>Exposure duration | Bemærkninger<br>Remarks                                  | Reference<br>Reference      |
|------------------------------|-------------------------|------------------------|---|--------------------------------------|--|-----------------------------|
| Rattus norvegicus<br>(rotte) | Aroclor 1260            | LOEC                   | 25  | 24 months                            | Total tumors   | Brown et al. (2007)         |
| <b>Sus scrofa (svin)</b>     | <b>Aroclor<br/>1254</b> | <b>EC<sub>10</sub></b> | <b>≈32</b>                                    | <b>56 dg</b>                         | <b>Weight of liver. Deduced from<br/>data in article</b> | <b>Miniat et al. (1977)</b> |

## Bilag D

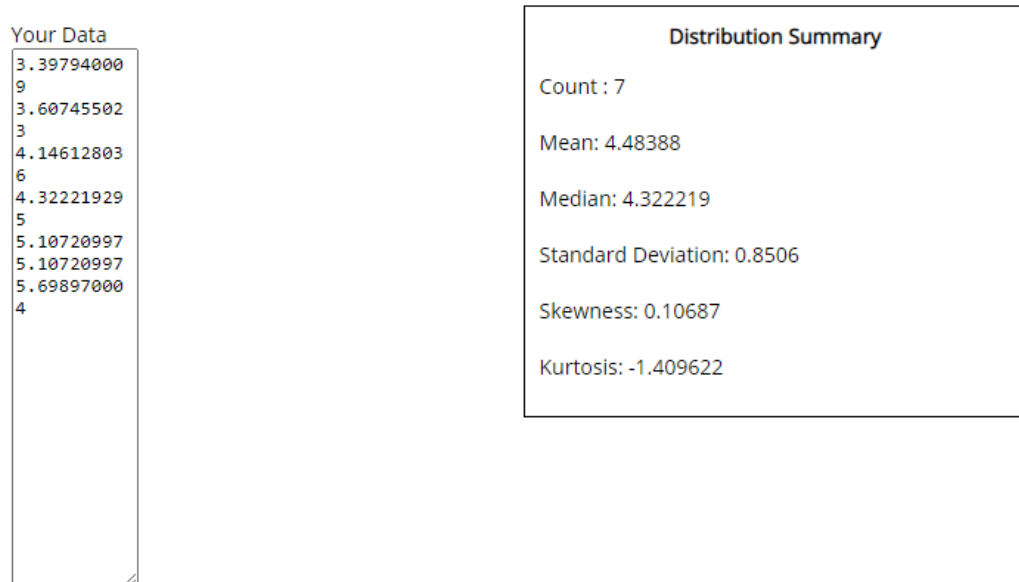
### Struktur af PCBerne

|  |   |   |
|--|---|---|
| PCB28  | PCB52   | PCB101  |
|   |  |  |
| PCB118   | PCB138  | PCB153  |
|   |  |  |
| PCB180   |   |   |
|  |   |   |

# Bilag E

## Test for normalfordeling ved anvendelse af logtransformerede data

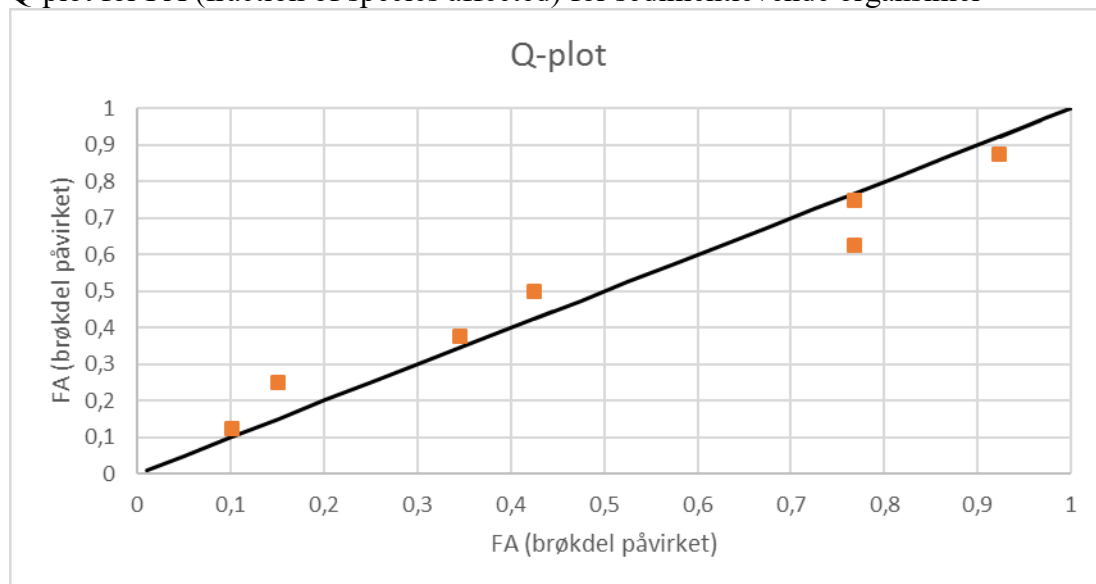
Kolmogorov-Smirnov-test på data for sedimentlevende organismer  
(<https://www.socscistatistics.com/tests/kolmogorov/default.aspx>)



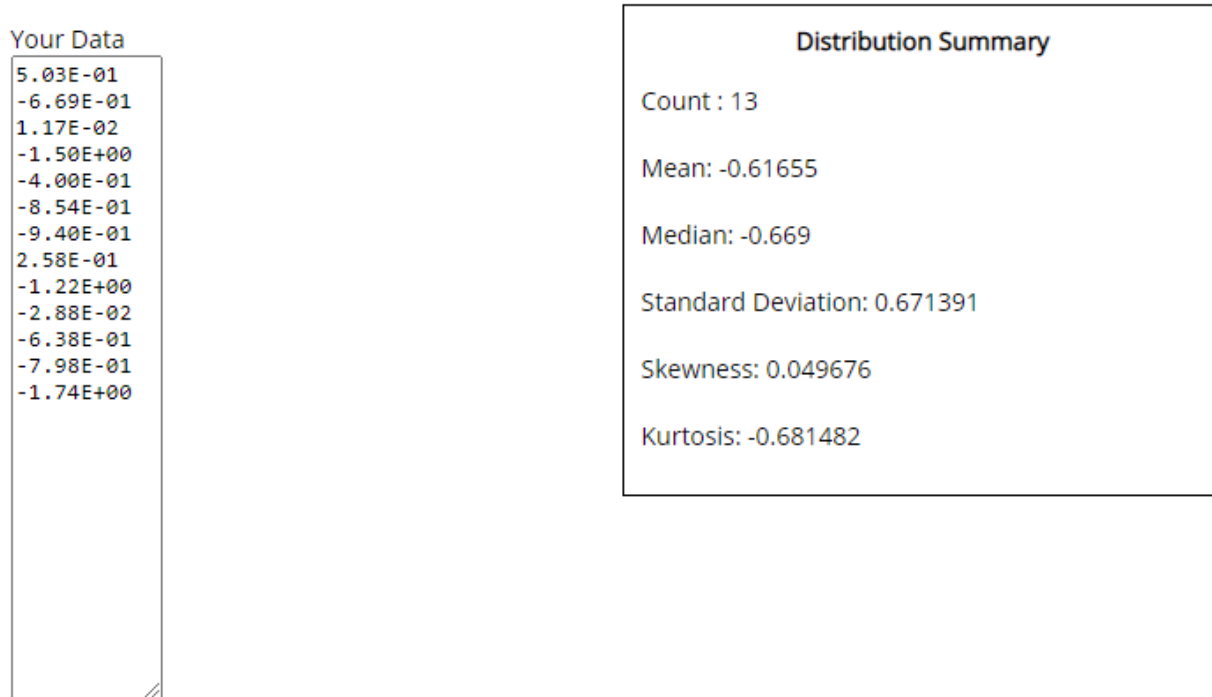
*Result:* The value of the K-S test statistic (D) is .21425.

The p-value is .84406. Your data does *not* differ significantly from that which is normally distributed.

Q-plot for FA (fraction of species affected) for sedimentlevende organismer



Kolmogorov-Smirnov-test på data for biota, sekundær forgiftning  
(<https://www.socscistatistics.com/tests/kolmogorov/default.aspx>)



*Result:* The value of the K-S test statistic (D) is .12865.

The *p*-value is .96368. Your data does *not* differ significantly from that which is normally distributed.

Shapiro-Wilk test / Shapiro-Francia test ( $n < 50$  /  $n > 50$ ), Anderson-Darling test, Jarque & Bera test, Cramer-von Mises test, d'Agostino-Pearson test.

(<https://www.gigacalculator.com/calculators/normality-test-calculator.php>)

| ✓ Calculation results      |  |
|----------------------------|--|
| Shapiro-Wilk p-value       | <b>0.9543 (W = 0.9760)</b>             |
| Shapiro-Francia p-value    | <b>0 (W' = 0.2574)</b>                 |
| D'Agostino-Pearson p-value | <b>0.8817 (K<sup>2</sup> = 0.2518)</b> |
| Jarque-Bera p-value        | <b>0.8111 (JB = 0.4187)</b>            |
| Cramer-von Mises p-value   | <b>0.8404 (W = 0.0294)</b>             |
| Anderson-Darling p-value   | <b>0.8818 (W = 0.1878)</b>             |
| Data Points                | <b>13</b>                              |
| Mean                       | <b>-0.6165</b>                         |
| Range                      | <b>-1.74 - 0.5030</b>                  |
| Standard deviation         | <b>0.6451</b>                          |

Q-plot for FA for sedimentlevende organismer

